

(11) Número de Publicação: **PT 795018 E**

(51) Classificação Internacional:  
**C12N 15/54** (2006.01) **C12N 15/82** (2006.01)  
**A01H 5/00** (2006.01)

**(12) FASCÍCULO DE PATENTE DE INVENÇÃO**

(22) Data de pedido: **1996.01.08**

(30) Prioridade(s): **1995.01.06 EP 95200015**  
**1995.03.27 EP 95200762**

(43) Data de publicação do pedido: **1997.09.17**

(45) Data e BPI da concessão: **2007.09.12**  
**148/2007**

(73) Titular(es):

**PLANT RESEARCH INTERNATIONAL B.V.**  
**DROEVENDAALSESTEEG 1 6708 PB**  
**WAGENINGEN**

**NL**

(72) Inventor(es):

**ARJEN JOHANNES VAN TUNEN**  
**INGRID MARIA VAN DER MEER**  
**ANDRIES JURRIAAN KOOPS**

**NL**

**NL**

**NL**

(74) Mandatário:

**LUÍS MANUEL DE ALMADA DA SILVA CARVALHO**  
**RUA VÍCTOR CORDON, 14 1249-103 LISBOA**

**PT**

(54) Epígrafe: **SEQUÊNCIAS DE ADN CODIFICANDO ENZIMAS DE SÍNTESE DE POLÍMEROS DE HIDRATOS DE CARBONO E MÉTODO PARA A PRODUÇÃO DE PLANTAS TRANSGÉNICAS**

(57) Resumo:

**RESUMO**

**"SEQUÊNCIAS DE ADN CODIFICANDO ENZIMAS DE SÍNTSE DE  
POLÍMEROS DE HIDRATOS DE CARBONO E MÉTODO PARA A PRODUÇÃO  
DE PLANTAS TRANSGÉNICAS"**

É divulgado um fragmento de ADN possuindo uma sequência nucleotídica SEQ ID NO: 1 tal como mostrada na Figura 4A ou uma sequência homóloga possuindo uma semelhança de pelo menos 70% codificando 1-sacarose:sacarose-frutosiltransferase. É também divulgado um fragmento de ADN possuindo uma sequência nucleotídica SEQ ID NO: 2 tal como mostrada na Figura 4B ou uma sequência homóloga possuindo uma semelhança de pelo menos 70% codificando 1-frutano:frutano-frutosiltransferase. Este invento divulga ainda um ADN recombinante compreendendo um ou mais dos referidos fragmentos de ADN, ou compreendendo o(s) referido(s) fragmento de ADN na orientação inversa. Utilizando os referidos fragmentos podem ser produzidos organismos transformados apresentando um perfil de frutanos modificado.

**DESCRIÇÃO**

**"SEQUÊNCIAS DE ADN CODIFICANDO ENZIMAS DE SÍNTESE DE  
POLÍMEROS DE HIDRATOS DE CARBONO E MÉTODO PARA A PRODUÇÃO  
DE PLANTAS TRANSGÉNICAS"**

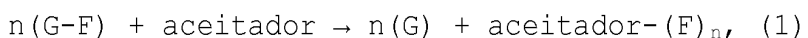
Este invento refere-se a sequências nucleotídicas codificando enzimas de síntese de frutanos, uma sequência de ADN recombinante compreendendo uma ou mais das referidas sequências nucleotídicas, um método para produção de um organismo hospedeiro geneticamente transformado apresentando um perfil de frutanos modificado e plantas ou partes de plantas transformadas apresentando o referido perfil de frutanos modificado.

Os frutanos referem-se a um grupo de compostos hidratos de carbono nos quais uma ou mais ligações frutosil-frutose constituem a maioria das ligações. Os frutanos são polímeros de frutose com habitualmente, mas não necessariamente, uma unidade glicosil terminal  $[G-(F)_n]$ , G = opcional,  $n \geq 2$ . As ligações frutosil-frutose nos frutanos são do tipo de ligação  $\beta-2,6$  ou  $\beta-2,1$ . Os frutanos com ligações frutosil-frutose predominantemente  $\beta-2,6$  são habitualmente designados levano(s). Os frutanos com ligações frutosil-frutose predominantemente  $\beta-2,1$  são habitualmente designados inulina(s).

A biossíntese dos frutanos é vulgar em várias famílias de bactérias, fungos e algas e também em famílias específicas de plantas, tais como a Liliaceae (p. ex., *Allium cepa*), Poaceae (p. ex., *Lolium perenne*) e Asteraceae (p. ex., *Helianthus tuberosus*). A função dos frutanos nas bactérias e nos fungos está pouco compreendida. Foi sugerido que os frutanos actuam como reservas extracelulares de hidratos de carbono que podem ser mobilizadas durante períodos de stress de hidratos de carbono (Jacques, 1993). Em plantas, os frutanos podem funcionar como reserva de hidratos de carbono que servem como fonte de carbono para (re)crescimento (Meier and Reid, 1982). Em espécies armazenadoras de frutanos, a síntese de frutanos está restringida não só a órgãos específicos (p. ex., os caules ou tubérculos de *H. tuberosus*, os bulbos de *Allium sps*, as bases das folhas e caules das ervas) como também a tipos celulares específicos dentro destes órgãos (habitualmente as células do parênquima). Nestes tipos celulares específicos, o vacúolo é provavelmente a localização tanto da biossíntese como do armazenamento dos frutanos (Darwen e John, 1989; Wagner et al., 1983).

Nas bactérias, exemplos de bactérias sintetizadoras de frutanos são *Streptococcus mutans* e *Bacillus subtilis*, a biossíntese de frutanos a partir de sacarose é catalisada apenas por uma enzima: levanossacarase (EC 2.4.1.10) em *B. subtilis* (Dedonder 1966) e levanossacarase, mas também designada frutosiltransferase, (FTF, EC

2.4.1.10) em *S. mutans* (Carlsson, 1970). A síntese de frutanos bacterianos prossegue através da transferência directa da frutose de uma sacarose dadora (G-F) para uma sacarose ou outras moléculas aceitadoras de acordo com a seguinte reacção reversível:



onde n pode ser maior que 10000.

A água, hexoses, sacarose, oligossacáridos e levano podem actuar como moléculas aceitadoras de unidades de frutosil da sacarose (dadora de frutosil).

As sequências de ADN bacteriano codificando FTF em *S. mutans* e de levanossacarase in *B. subtilis* estão já descritas na literatura (Sato e Kuramitsu, 1986; Steinmetz et al. 1985). Foram utilizados genes bacterianos de várias fontes para transformar plantas hospedeiras específicas que normalmente não podem sintetizar frutanos, induzindo deste modo a síntese de frutanos (ver por exemplo: Van der Meer et al., 1994; Ebskamp et al., 1994). Um método para aumentar o teor sólido dos frutos do tomateiro, utilizando o gene da levanossacarase de *B. subtilis* e o gene da dextranossacarase de *Leuconostoc mesenteroides* está descrito no pedido WO 89/12386. Um método para modificar o padrão de frutanos em plantas que normalmente não podem sintetizar frutanos, utilizando o gene *ftf* codificando a levanossacarase de *S. mutans* e o gene *SacB* codificando a

levanossacarase de *B. subtilis* está descrito nos pedidos NL A 9300646 e WO 94/14970. A utilização de uma sequência de ADN codificando a levanossacarase de *Erwinia amylovora*, que após integração no genoma da planta hospedeira conduz à síntese de levanos, está descrita em DE 4227061 A1 e WO A 9404692. Em todos os referidos pedidos, são descritas plantas transgénicas que são transformadas com genes de levanossacarase de bactérias. Concordantemente, estas plantas transgénicas sintetizam e acumulam frutanos estruturalmente comparáveis aos sintetizados pelas bactérias dadoras (Van der Meer et al., 1994; Ebskamp et al., 1994).

O presente pedido difere dos referidos pedidos por estar relacionado com sequências de ADN codificando frutosiltransferases derivadas de plantas. Estas enzimas são estruturalmente diferentes das enzimas bacterianas uma vez que não existe uma homologia significativa ao nível dos aminoácidos nem do ADN. Para além disso, o mecanismo de biossíntese dos frutanos em plantas é essencialmente diferente do das bactérias. Em contraste com a biossíntese de frutanos em bactérias, a formação de frutanos em plantas é mediada por mais de uma enzima. Por exemplo, em *Helianthus tuberosus* (girassol-batateiro), a biossíntese de frutanos é catalisada por duas enzimas: a sacarose:sacarose-frutosiltransferase (SST, EC 2.4.1.99) e a frutano:frutano-frutosiltransferase (FFT, EC 2.4.1.100). A SST e a FFT de *H. tuberosus* estão envolvidas na síntese de frutanos ligados em  $\beta$ -2,1 (inulina) e são portanto também designadas como 1-SST e 1-FFT. A 1-FFT foi purificada a

partir de tubérculos de *H. tuberosus* (Lüscher et al., 1993; Koops e Jonker, 1994). A purificação de SST provou-se ser mais difícil de alcançar. Foi purificada uma putativa SST a um rendimento muito baixo, a partir de várias fontes vegetais (Shiomii e Izawa, 1980; Praznik et al., 1990; Angenent et al., 1993). No entanto, em nenhum destes estudos a pureza da enzima foi convincentemente mostrada. Para além disso, não foi convincentemente mostrado nestes estudos que a enzima isolada não representa uma invertase.

Grandes quantidades de 1-SST e 1-FFT foram agora purificadas até à homogeneidade a partir de tubérculos de *H. tuberosus* (1-FFT: Koops e Jonker, 1994) e os seus mecanismos reaccionais foram extensivamente investigados. A 1-SST de *H. tuberosus* catalisa o passo inicial da biossíntese de frutanos, a síntese do trissacárido 1-cestose ( $1-[G-(F)_2]$ ) a partir de duas moléculas de sacarose (G-F), de acordo com a seguinte reacção:



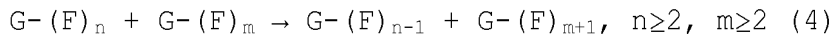
em que G-F = sacarose, -F = unidade frutosil, -G = unidade glucosil, G = glicose

A 1-SST pode também catalisar a formação do tetrassacárido  $1,1-[G-(F)_3]$  e do pentassacárido  $1,1,1-[G-(F)_4]$  (Fig. 3A). Por essa razão, a actividade de 1-SST pode ser descrita pela seguinte reacção geral:



Verificou-se também que a 1-SST de *H. tuberosus* pode até certo ponto catalisar a transferência de uma unidade frutosil de  $G-(F)_n$ ,  $1 \leq n \leq 3$ , para água.

A segunda enzima, 1-FFT, catalisa a formação de frutanos com um maior grau de polimerização. Esta enzima catalisa uma reacção de polimerização através da transferência de unidades frutosil entre trissacáridos, tetrassacáridos e polímeros de frutose maiores de acordo com a seguinte reacção geral:



Verificou-se também que 1-FFT catalisa a transferência de unidades frutosil entre hidratos de carbono  $[(Gal)_n-G-F]$ , também designados galactanos, contendo sacarose ( $G-F$ ) e galactose ( $Gal$ ). Por exemplo, a 1-FFT pode catalisar a transferência de uma unidade frutosil de  $G-(F)_2$  para rafinose ( $Gal-G-F$ ) o que resulta na formação de  $[Gal-G-(F)_2]$ . Não se pode excluir que tanto 1-SST como 1-FFT de *H. tuberosus* podem utilizar outros substratos como aceitadores de frutosil.

Embora 1-SST e 1-FFT tenham alguma actividade sobreponível - ambas as enzimas podem catalisar a formação de tetra e pentassacáridos (reacções 3 ou 4) - 1-SST e 1-FFT são enzimas distintamente diferentes. As proteínas

1-SST e 1-FFT têm diferentes propriedades físicas e são codificadas por diferentes genes. 1-SST e 1-FFT têm essencialmente propriedades enzimáticas diferentes. 1-FFT não é capaz de catalisar o passo inicial da síntese de frutanos (reacção 2), enquanto que 1-SST não é capaz de catalisar a formação de polímeros de frutanos com um grau de polimerização superior a 5 [ $G-(F)_n$ ,  $n>4$ ]. Em conclusão, apenas com a actividade de 1-SST, é apenas possível sintetizar oligofrutanos a partir de sacarose com um grau de polimerização até 5 [ $G-(F)_n$ ,  $2\leq n \leq 4$ ]. Para sintetizar frutanos com um grau mais elevado de polimerização e utilizando sacarose como substrato, é necessário tanto 1-SST como 1-FFT. Apenas com a actividade de 1-FFT, não é possível sintetizar frutanos a partir de sacarose. Os presentes inventores verificaram que fracções proteicas contendo 1-SST purificada bem como a 1-FFT purificada podiam utilizar sacarose como único substrato para a síntese de frutanos com um grau de polimerização de pelo menos 15 [ $G-(F)_{14}$ , Fig. 3B].

Os frutanos bacterianos diferem dos frutanos das plantas no grau de polimerização e no tipo de ramificação e, consequentemente, nas propriedades químicas e físicas. Em geral, os frutanos das plantas são montados a partir de menos de 1000 unidades frutosil. Os frutanos de *H. tuberosus* são montados a partir de menos de 100 unidades frutosil. Os frutanos sintetizados por bactérias podem compreender mais de 10000 unidades frutosil. Os frutanos vegetais e bacterianos diferem portanto nas suas possíveis aplicações. Para frutanos com um grau relativamente baixo

de polimerização, tal como os isolados de Asteraceae (p. ex., girassol-batateiro, chicória ou dália), foi já feito um pedido como substituto de fosfato em agentes de ligação ao cálcio e detergentes (WO91/17189). Outros pedidos estão relacionados com as propriedades organolépticas dos frutanos. O poder adoçante dos frutanos  $G-(F)_n$  diminui com um aumento do grau de polimerização (aumento do valor de  $n$ ). O poder adoçante dos oligofrutanos  $G-(F)_2$  e  $G-(F)_3$  aproxima-se do da sacarose ( $G-F$ ). Os frutanos de cadeia muito longa tais como os que ocorrem em bactérias não são nada doces. Os frutanos de cadeia muito curta, tais como os que são sintetizados pela sacarose:sacarose-frutosiltransferase podem por isso ser utilizados como adoçantes com a vantagem adicional de que estes frutanos de sabor doce não são carcinogénicos e podem resistir à digestão no tracto digestivo dos humanos, o que abre possibilidades quanto à utilização como adoçante de baixas calorias. Os frutanos de cadeia curta, e também os frutanos de cadeia mais longa, podem ser utilizados como a porção hidrófoba de biotensioactivos.

Em contraste com os genes bacterianos que codificam levanossacarase, que foram já clonados, os genes codificando SST e FFT ainda não foram isolados das plantas. Verificámos que os genes codificando SST e FFT de plantas, ao nível dos aminoácidos, não têm uma semelhança significativa com as levanossacarases conhecidas e que ao nível do ADN não têm um grau de homologia significativo com os genes de levanossacarases. Por esta razão não foi possível isolar os genes de frutosiltransferases de plantas utilizando sondas heterólogas de levanossacarases. Também não

foi possível isolar os genes codificando SST e FFT a partir de plantas utilizando as sequências de aminoácidos das enzimas SST e FFT purificadas e seus iniciadores oligonucleotídicos deduzidos.

Em relação à enzima SST a razão para isto é que, embora tenham sido descritos métodos para a purificação de frutosiltransferases a partir de plantas, não foi possível até agora obter a enzima SST em quantidades suficientemente grandes e com graus de pureza suficientemente elevados. Em relação à enzima FFT, a sua purificação é conhecida de Koops e Jonker, 1994.

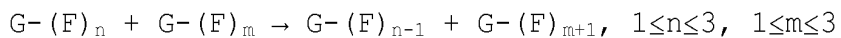
O objectivo deste invento é proporcionar sequências nucleotídicas codificando SST.

Outro objectivo deste invento é proporcionar sequências nucleotídicas, obtidas através de recombinação ou mutagénese de sequências nucleotídicas codificando SST, que codifiquem enzimas possuindo actividade de frutosiltransferase.

Ainda outro objectivo deste invento é proporcionar um método para transformação de espécies não sintetizadoras de frutanos em espécies sintetizadoras de frutanos através da introdução dos genes que codificam SST.

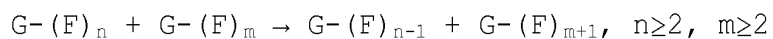
Ainda outro objectivo deste invento é desligar (parcialmente) a síntese de frutanos em espécies que normalmente sintetizam frutanos.

Concordantemente, este invento proporciona um fragmento de ADN possuindo uma sequência nucleotídica SEQ ID NO: 1, tal como mostrada na Fig. 4A, ou uma sequência homóloga possuindo uma identidade de pelo menos 70% codificando uma proteína possuindo actividade de 1-sacarose:sacarose-frutosiltransferase, que catalise a reacção geral:



em que  $-G$  representa uma unidade glicosil e  $-F$  representa uma unidade frutosil.

Mais, este invento proporciona uma sequência de ADN recombinante compreendendo um ou mais destes fragmentos de ADN. Para além disso, este invento proporciona uma sequência de ADN recombinante compreendendo um ou mais dos fragmentos de ADN acima definidos e compreendendo ainda um fragmento de ADN possuindo uma sequência nucleotídica SEQ ID NO: 2 tal como mostrado na Fig. 4B ou uma sequência homóloga possuindo uma identidade de pelo menos 70% codificando uma proteína possuindo actividade de 1-frutano:frutano-frutosiltransferase, que catalise a reacção geral:



em que  $-G$  e  $-F$  são tal como definido acima.

A 1-sacarose:sacarose-frutosiltransferase (1-SST) e a 1-frutano:frutano-frutosiltransferase (1-FFT) foram

purificadas a partir de tubérculos de *Helianthus tuberosus*. As enzimas purificadas foram clivadas em péptidos através de digestão triptica e as misturas peptídicas resultantes foram separadas através de HPLC. A sequenciação dos aminoácidos N-terminais foi efectuada para os péptidos seleccionados. As sequências de aminoácidos específicas para 1-SST e 1-FFT foram utilizadas para desenhar iniciadores oligonucleotídiscos degenerados específicos para 1-SST e 1-FFT, respectivamente, para utilização em RT-PCR. A PCR foi efectuada utilizando ADNc como molde, um iniciador específico da cauda e iniciadores degenerados específicos para 1-SST ou 1-FFT. O ADNc da primeira cadeia foi sintetizado a partir de ARN poli(A)+ isolado de tubérculos de *H. tuberosus*. Com o iniciador específico de 1-SST, a RT-PCR resultou num fragmento específico de 450 pb. Com o iniciador específico de 1-FFT, a RT-PCR resultou num fragmento específico de 800 pb. Os fragmentos de PCR de 450 e 800 pb foram subsequentemente utilizados para pesquisar uma biblioteca de ADNc feita a partir de tubérculos de *H. tuberosus* para isolar as sequências de ADNc inteiras codificando 1-SST e 1-FFT, respectivamente.

As sequências codificando SST e FFT de plantas do presente invento induzem, após inserção no genoma de um organismo hospedeiro, por exemplo uma planta, alterações nas concentrações de hidratos de carbono contendo pelo menos uma unidade frutosil (sacarose, oligofrutanos, frutanos ou galactanos) ou causam uma alteração no grau de polimerização dos oligofrutanos, frutanos ou galactanos. O

presente invento está relacionado com os referidos hidratos de carbono, uma vez que a sacarose é o substrato para SST, os oligofrutanos são produtos de SST, os oligofrutanos e os frutanos com um grau mais elevado de polimerização são substratos e produtos de FFT. Para além disso as referidas enzimas frutosiltransferases podem também efectuar reacções de transfrutosilação com galactanos da série rafinose como aceitador de frutosil.

O presente invento inclui sequências de ADN que são pelo menos 70% idênticas à sequência codificando 1-SST de *H. tuberosus*, independentemente de se as sequências homólogas são derivadas de outras fontes vegetais, ou obtidas através de mutagénese de sequências codificando frutosiltransferases de fontes vegetais ou de microrganismos. É preferível que o grau de homologia seja de pelo menos 80%, de maior preferência que o grau de homologia seja de pelo menos 85%, sendo ainda preferível que o grau de homologia seja de pelo menos 90%. É particularmente preferido que o grau de homologia seja de pelo menos 95%.

O presente invento inclui sequências de ADN que são pelo menos 70% idênticas à sequência codificando 1-FFT de *H. tuberosus*, independentemente de se as sequências homólogas são derivadas de outras fontes vegetais, ou obtidas através de mutagénese de sequências codificando frutosiltransferases de microrganismos. É preferível que o grau de homologia seja de pelo menos 80%, de maior preferência que o grau de homologia seja de pelo menos 85%,

sendo ainda preferível que o grau de homologia seja de pelo menos 90%. É particularmente mais preferido que o grau de homologia seja de pelo menos 95%.

O presente invento inclui também sequências de ADN obtidas através de recombinação *in vivo* e *in vitro* utilizando sequências codificando SST e opcionalmente FFT de plantas e sequências codificando frutosiltransferases de outras fontes procarióticas ou eucarióticas, incluindo bactérias e fungos.

O presente invento refere-se a sequências de ADN codificando SST de plantas, que após inserção no genoma de um organismo hospedeiro induzem a síntese de oligofrutanos compreendendo 2, 3 e/ou 4 unidades frutosil [G-(F)<sub>n</sub>, 2≤n≤4]. O presente invento refere-se também a sequências de ADN codificando FFT de plantas que após inserção no genoma de um organismo hospedeiro juntamente com sequências de ADN codificando SST, induzem a síntese de frutanos com um maior grau de polimerização [G-(F)<sub>n</sub>, n>4].

O presente invento refere-se também a construções génicas químéricas compreendendo sequências codificando SST e opcionalmente FFT, ou parte das sequências, estando as sequências presentes na direcção anti-sentido. A introdução destas construções anti-sentido em plantas que podem sintetizar frutanos causará inibição das reacções catalisadas por SST ou FFT ou causará inibição da expressão de SST ou FFT.

O presente invento refere-se a construções génicas químéricas codificando SST, ou parte da sequência, estando a sequência de codificação presente na orientação anti-sentido. A introdução destas construções anti-sentido no genoma de plantas hospedeiras que podem sintetizar frutanos, tais como espécies das famílias Asteraceae, Liliaceae e Poaceae, reduz ou bloqueia a conversão de sacarose em oligofrutanos  $[G-(F)_n, 2 \leq n \leq 4]$ . Uma vez que apenas SST é capaz de catalisar o primeiro passo da síntese de frutanos (reacção 2), em tais plantas transgénicas também a síntese de frutanos com um maior grau de polimerização,  $[G-(F)_n, n > 4]$ , será reduzida ou bloqueada e estas plantas acumularão sacarose em vez de frutanos.

O presente invento refere-se a construções génicas químéricas codificando FFT, ou parte da sequência, estando a sequência de codificação presente na orientação anti-sentido. A introdução destas construções anti-sentido no genoma de plantas hospedeiras que podem sintetizar frutanos reduz ou bloqueia a conversão oligofrutanos  $[G-(F)_n, 2 \leq n \leq 4]$  em frutanos com um grau de polimerização mais elevado  $[G-(F)_n, n > 4]$ . As plantas transgénicas assim obtidas acumularão oligofrutanos em vez de frutanos, com um grau de polimerização mais elevado.

De acordo, o presente invento proporciona um método para a produção de uma planta geneticamente transformada apresentando um perfil de frutanos modificado, que compreende os passos de:

i) preparação de uma construção génica químérica compreendendo um ou mais fragmentos de ADN tal como acima definido ou os referidos fragmentos de ADN na orientação invertida, operativamente ligados a uma sequência promotora activa na referida planta e uma sequência terminadora activa na referida planta,

ii) introdução da construção génica químérica no genoma da planta, e

iii) regeneração das células vegetais transformadas em plantas transgénicas.

Mais especificamente o método do invento comprehende os seguintes passos:

a. construção de um gene químérico compreendendo essencialmente as seguintes sequências:

- um promotor que assegura a formação de um ARN ou proteína funcional no organismo alvo, órgãos alvo, tecidos ou células pretendidos,

- uma sequência de ADN codificando SST e opcionalmente FFT,

- um terminador da transcrição operativamente ligado à sequência de ADN, estando a sequência de ADN

codificando SST e opcionalmente FFT funcionalmente ligada a um promotor, uma sequência de ADN codificando um sinal de direccionamento ou um péptido de trânsito que assegura o direccionamento de SST e opcionalmente FFT para um compartimento subcelular específico;

b. introdução do gene quimérico no genoma de um organismo hospedeiro de modo a obter material genético compreendendo a sequência de ADN e

c. regeneração do material genético num organismo hospedeiro transformado.

No ADN recombinante do presente invento, a sequência de ADN codificando SST e opcionalmente FFT está de preferência ligada a uma sequência reguladora que assegura a expressão correcta da sequência de ADN num organismo hospedeiro, tal como uma bactéria, uma levedura, uma alga ou uma planta, a um nível de expressão suficientemente elevado. As sequências reguladoras são um promotor, um sinal de terminação e um estimulador da transcrição ou da tradução. Um promotor pode ser o promotor de 35S do vírus do mosaico do tabaco (CaMV) ou um promotor indutível por açúcar semelhante ao promotor da patatina ou um promotor específico de um órgão semelhante ao promotor do inibidor II da proteinase de batata específico do tubérculo ou qualquer outro promotor indutível ou específico de tecido.

No ADN recombinante do presente invento, a sequência de ADN codificando SST e opcionalmente FFT está de preferência ligada a sequências reguladoras que são operativas em plantas e que asseguram uma expressão correcta da sequência de ADN nos diferentes órgãos, tecidos ou células da planta. Um promotor altamente preferido é um promotor que é activo em órgãos e tipos celulares que normalmente acumulam sacarose (o substrato primário para a síntese de frutanos). A produção de frutanos é particularmente vantajosa em órgãos que armazenam grandes quantidades de sacarose, tais como as raízes aprumadas da beterraba sacarina ou os caules da cana do açúcar. Para além das raízes, estão envolvidos outros órgãos ou tipos celulares na síntese, processamento, transporte e acumulação de sacarose. Portanto, as sequências codificando SST ou FFT são também adequadamente expressas em folhas, caules, raízes, tubérculos, órgãos reprodutores e sementes.

No ADN recombinante do presente invento, a sequência de ADN codificando SST e opcionalmente FFT contém ou está ligada a uma sequência codificando um péptido de trânsito que dirige a proteína madura SST e opcionalmente a FFT para um compartimento subcelular contendo sacarose. A produção de frutanos é particularmente vantajosa no vacúolo que pode acumular concentrações muito elevadas de sacarose (até 900 mol m<sup>-3</sup>). Para além do vacúolo, outros compartimentos subcelulares estão envolvidos na síntese (citoplasma), processamento (citoplasma, mitocôndrias, plastos) e transporte (parede celular, citoplasma) da

sacarose. O presente invento refere-se portanto à utilização de sequências que permitem o direcionamento do produto SST e opcionalmente FFT para compartimentos subcelulares específicos, tais como o vacúolo, a parede celular, as mitocôndrias, os plastos e o citoplasma.

O presente invento refere-se também a construções génicas, compreendendo uma sequência codificando SST e opcionalmente FFT, ou parte das sequências, estando a sequência de codificação presente na orientação anti-sentido. Nestas construções génicas, a sequência codificando SST e opcionalmente FFT está de preferência ligada a um promotor que assegura a formação de um ARN anti-sentido nos tipos celulares que eram normalmente capazes de sintetizar frutanos.

Os ADNs recombinantes do presente invento podem também codificar proteínas possuindo resistência a herbicidas, propriedades de promoção do crescimento vegetal, inibição do crescimento vegetal, antifúngicas, antibacterianas, antivirais e/ou anti-nemátodes ou que confirmam resistência ao stress. Os ADNs recombinantes do presente invento podem ainda codificar proteínas que induzem esterilidade. No caso de se pretender introduzir o ADN num organismo heterólogo este pode ser modificado para remover motivos conhecidos de instabilidade do ARNm (tais como regiões ricas em AT); e são utilizados sinais de poliadenilação e/ou codões que sejam preferidos pelo organismo, no qual se pretender inserir o ADN recombinante, de modo a que a expressão do ADN assim modificado no organismo

hospedeiro seja maior que a obtida através da expressão de ADN recombinante não modificado no mesmo organismo hospedeiro.

O presente invento proporciona também uma planta transformada mostrando um perfil de frutanos modificado ou uma célula vegetal, semente, fruto, plântula ou qualquer parte da planta transformada, ancorando uma construção génica quimérica compreendendo um ou mais fragmentos de ADN tais como acima definidos ou os referidos fragmentos de ADN na orientação inversa, operativamente ligados a uma sequência promotora activa na referida planta e a uma sequência terminadora activa na referida planta. O invento inclui de preferência colheitas agrícolas, de forragem, legumes, ornamentais e de fruto, de maior preferência beterraba sacarina, cana do açúcar, batata, petúnia, alfafa, soja, arroz, azevém, rabo-de-gato, trigo, cevada, sorgo, milho, chicória, girassol-bataateiro, tulipa, melão, cebola, alho, tomate, morango, maçã e pêra. Mais, este invento inclui a descendência das plantas transformadas que contenham o ADN estavelmente incorporado e transmissível de forma Mendeliana e/ou as sementes de tais plantas e tal descendência.

**PARTE EXPERIMENTAL****Purificação de 1-SST**

Tubérculos de *Helianthus tuberosus* "Colombia" foram utilizados para a extracção de 1-SST e 1-FFT. Os tubérculos foram colhidos em Agosto-Setembro, durante o

período de crescimento rápido dos tubérculos e de acumulação massiva de frutanos. Os tubérculos foram lavados e congelados em azoto líquido. Quatrocentos gramas de tubérculos congelados (-80°C) foram pulverizados e imediatamente homogeneizados a partir daí num misturador Waring em 900 cm<sup>3</sup> de tampão fosfato (P) 50 mol m<sup>-3</sup>, pH 6,5, contendo glicerol a 10% (p/v), MgSO<sub>4</sub> 1 mol m<sup>-3</sup>, Na<sub>2</sub>EDTA 1 mol m<sup>-3</sup>, PMSF 1 mol m<sup>-3</sup> (Sigma, USA), DTT 1 mol m<sup>-3</sup>, PVPP 1,5% (w/v) e Na<sub>2</sub>S<sub>2</sub>O<sub>5</sub> 20 mol m<sup>-3</sup>. O homogenato foi filtrado através de três camadas de Miracloth e centrifugado a 17000 g durante 1 h.

O extracto proteico foi mantido a 4°C e ajustado a uma saturação de 45% com (NH<sub>2</sub>)<sub>2</sub>SO<sub>4</sub>. As proteínas insolúveis foram sedimentadas através de centrifugação (10000 g, 30 min) e descartadas. O sobrenadante a 45% foi levado até 70% de saturação através de mais adições de (NH<sub>4</sub>)<sub>2</sub>SO<sub>4</sub>. O sedimento, obtido após um segundo passo de centrifugação, foi novamente dissolvido em 60 cm<sup>3</sup> de tampão fosfato (P) 50 mol m<sup>-3</sup>, pH 6,5, DTT 1 mol m<sup>-3</sup> e PMSF (Sigma, USA) 1 mol m<sup>-3</sup>, e dessalinizado através de diálise contra tampão-P 10 mol m<sup>-3</sup>, pH 6,5, PMSF 1 mol m<sup>-3</sup> e DTT 1 mol m<sup>-3</sup>, durante 16 h. Após substituição do tampão a diálise foi continuada durante mais 3 h. Todo o procedimento foi efectuado a temperaturas entre 0 e 4°C. O dialisado centrifugado (30000 g, 30 min) foi aplicado sobre uma coluna de Fluxo Rápido de Sepharose Q de 25×120 mm (4°C), que tinha sido pré-lavada com bis-Tris 10 mol m<sup>-3</sup>, pH 6,5, DTT 1 mol m<sup>-3</sup>, PMSF 1 mol m<sup>-3</sup> e EDTA 5 mol m<sup>-3</sup> em água Milli-Q. As proteínas ligadas

foram eluídas com um gradiente de NaCl (0-300 mol m<sup>-3</sup>) no mesmo tampão a um caudal de 5 cm<sup>3</sup> min<sup>-1</sup>. A 1-SST eluiu a NaCl 200-250 mol m<sup>-3</sup>.

As fracções de Sepharose Q foram ajustadas a 400 mol m<sup>-3</sup> com (NH<sub>2</sub>)<sub>2</sub>SO<sub>4</sub> sólido. Fracções de 20 cm<sup>3</sup> foram carregadas numa coluna de 15×50 mm de Alta resolução de Fenil-Sepharose ou de Alta Substituição de Fenil-Sepharose, que foram pré-equilibradas com tampão bis-Tris 10 mol m<sup>-3</sup>, pH 6,5, contendo (NH<sub>4</sub>)<sub>2</sub>SO<sub>4</sub> 500 mol m<sup>-3</sup>, DTT 1 mol m<sup>-3</sup>, PMSF 1 mol m<sup>-3</sup>, EDTA 2 mol m<sup>-3</sup> e CHAPS (tampão A) a 0,1% a 12°C. A eluição das proteínas ligadas foi realizada utilizando um gradiente linear de tampão A (100-0%) sem (NH<sub>4</sub>)<sub>2</sub>SO<sub>4</sub>, contendo etilglicol a 25% (v/v), a um caudal de 1 cm<sup>3</sup> min<sup>-1</sup>. A 1-SST eluiu a (NH<sub>4</sub>)<sub>2</sub>SO<sub>4</sub> 100 mol m<sup>-3</sup>.

Fracções de Fenil-Sepharose até 10 cm<sup>3</sup> foram injectadas numa coluna de Concanavalina A-Sepharose de 5×50 mm, pré-lavada em bis-Tris 20 mol m<sup>-3</sup>, pH 6,5, NaCl 250 mol m<sup>-3</sup>, CaCl<sub>2</sub> 0,5 mol m<sup>-3</sup>, MnCl<sub>2</sub> 0,5 mol m<sup>-3</sup>, DTT 1 mol m<sup>-3</sup> e PMSF 1 mol m<sup>-3</sup>. A 1-SST ligada foi eluída com α-CH<sub>3</sub>-manopiranósido 500 mol m<sup>-3</sup> no mesmo tampão.

As fracções activas de uma corrida em Concanavalina A foram reunidas e aplicadas numa coluna 5×200 empacotada com hidroxilapatite esférica (15 µm) (Merck, Alemanha). A coluna foi pré-equilibrada em CaCl<sub>2</sub> 2 mol m<sup>-3</sup>, NaCl 10 mol m<sup>-3</sup>, DTT 1 mol m<sup>-3</sup>, PMSF 1 mol m<sup>-3</sup> e CHAPS (tampão A) a 0,1%. As proteínas ligadas à coluna foram

eluídas com um gradiente em degraus de tampão A e tampão fosfato de potássio  $500 \text{ mol m}^{-3}$ , pH 6,5, a um caudal de  $0,5 \text{ ml min}^{-1}$ . A 1-SST eluiu a fosfato de potássio  $75\text{-}100 \text{ mol m}^{-3}$ .

As fracções activas de uma corrida em hidroxilapatite foram reunidas e aplicadas numa coluna Mono Q de  $5\text{x}50 \text{ mm}$  que foi pré-equilibrada com tampão-P  $10 \text{ mol m}^{-3}$ , pH 6,5, DTT  $1 \text{ mol m}^{-3}$ , EDTA  $1 \text{ mol m}^{-3}$  e CHAPS a 0,1%. As proteínas ligadas foram eluídas com um gradiente de NaCl ( $0\text{-}500 \text{ mol m}^{-3}$ ) a um caudal de  $0,5 \text{ cm}^3 \text{ min}^{-1}$ . A 1-SST eluiu a NaCl  $250 \text{ mol m}^{-3}$ .

Todas as colunas, empacotamentos de coluna e equipamento de cromatografia foram obtidos em Pharmacia (Suécia), a menos que indicado em contrário.

### **Purificação de 1-EFT**

Foi obtido um extracto bruto de proteínas a partir de tubérculos de *H. tuberosus* tal como descrito para a purificação de 1-SST. O sobrenadante do extracto bruto de proteínas, tal como obtido após centrifugação foi ajustado a uma saturação de 45% com  $(\text{NH}_4)_2\text{SO}_4$  e agitado durante 1 h. As proteínas insolúveis foram sedimentadas através de centrifugação a  $10000 \text{ g}$  durante 30 min. O sedimento foi novamente dissolvido em  $60 \text{ cm}^3$  de tampão-P  $50 \text{ mol m}^{-3}$ , pH 6,5, DTT  $1 \text{ mol m}^{-3}$  e PMSF  $1 \text{ mol m}^{-3}$ , e dialisado de um dia para o outro contra tampão citrato/fosfato (C/P)  $10 \text{ mol m}^{-3}$ , pH 4,5, contendo PMSF  $1 \text{ mol m}^{-3}$  e DTT  $1 \text{ mol m}^{-3}$ . O conteúdo das tubagens de diálise foi reajustado para pH 6,5

com  $\text{Na}_2\text{HPO}_4$  0,2 M e as proteínas insolúveis foram removidas através de centrifugação a 30000 g durante 1 h. O sobrenadante foi carregado numa coluna de 25×120 mm de fluxo rápido de Sepharose Q (Pharmacia) pré-equilibrada com tampão-P 10 mol  $\text{m}^{-3}$ , pH 6,5, DTT 1 mol  $\text{m}^{-3}$  e PMSF 1 mol  $\text{m}^{-3}$  em água Milli-Q (Millipore B.V., Holanda). A coluna foi arrefecida para 4°C. As proteínas ligadas foram eluídas com um gradiente positivo de NaCl a um caudal de 5  $\text{cm}^3 \text{ min}^{-1}$ . A 1-FFT eluiu a NaCl 200-250 mol  $\text{m}^{-3}$ .

Foi adicionado  $(\text{NH}_4)_2\text{SO}_4$  sólido às fracções de Sepharose Q para dar uma concentração final de 750 mol  $\text{m}^{-3}$ . As fracções de 5  $\text{cm}^3$  foram carregadas numa coluna de 15×50 mm de Elevada Resolução de Fenil-Sepharose (Pharmacia) pré-equilibrada com tampão-P 10 mol  $\text{m}^{-3}$ , pH 6,5, contendo  $(\text{NH}_4)_2\text{SO}_4$  750 mol  $\text{m}^{-3}$  e DTT 1 mol  $\text{m}^{-3}$ . As proteínas ligadas foram eluídas com um gradiente negativo de  $(\text{NH}_4)_2\text{SO}_4$ , a um caudal de 1  $\text{cm}^3 \text{ min}^{-1}$  a 12°C. A 1-FFT eluiu a  $(\text{NH}_4)_2\text{SO}_4$  450-400 mol  $\text{m}^{-3}$ .

As fracções de Fenil-Sepharose (até 4  $\text{cm}^3$ ) foram injectadas numa coluna Hiload 16×600 mm Superdex 75 preparativa (Pharmacia) pré-lavada em tampão-P 10 mol  $\text{m}^{-3}$ , pH 6,5, e DTT 1 mol  $\text{m}^{-3}$ . As proteínas foram eluídas no mesmo tampão a um caudal de 0,5  $\text{cm}^3 \text{ min}^{-1}$  a 20°C. A 1-FFT eluiu 95-105 min após a injecção.

#### **Ensaios de 1-FFT e 1-SST**

A actividade de 1-FFT das fracções da coluna foi rotineiramente ensaiada a 35°C. Aliquotas de 25  $\text{mm}^3$  foram

misturadas com 25 mm<sup>3</sup>, 0,3 g de Neosugar P (Meiji Seika Kaisha, Ltd, Tokyo, Japão; Neosugar consiste em 1% de hexoses, 4% de sacarose, 42% de G-(F)<sub>2</sub>, 44% de G-(F)<sub>3</sub> e 7% de G-(F)<sub>4</sub>) por cm<sup>3</sup> de tampão-C/P 100 mol m<sup>-3</sup>, pH 6,5. Após 3 h, a reacção foi parada fervendo a mistura de incubação num banho-maria durante 5 min. Um ganho líquido de GF<sub>4</sub> foi tomado como medida da actividade de 1-FFT.

Para a actividade de 1-SST, foram misturadas fracções de 15 mm<sup>3</sup> da coluna com 15 mm<sup>3</sup> de GF 500 mol m<sup>-3</sup> em tampão-C/P 100 mol m<sup>-3</sup>, pH 5,0 e incubou-se durante 3 h a 35°C. A síntese de GF<sub>2</sub> foi tomada como medida da actividade de 1-SST.

### **Análise de açúcares e frutanos**

A sacarose e os oligofrutanos foram analisados através de RP-HPLC utilizando uma coluna Speri-5 RP 18 de 2,1×220 mm (Brownlee Labs, Santa Clara, USA). Foi utilizada água Milli-Q como eluente a um caudal de 0,3 cm<sup>3</sup> min<sup>-1</sup> a 37°C. A glicose e a frutose foram quantificadas numa coluna Shodex SC-1011 6,5×300 mm (Millipore B.V., Waters Chromatography Division, Holanda) corrida a 85°C com água Milli-Q a 0,75 cm<sup>3</sup> min<sup>-1</sup>. Os açúcares foram detectados com um detector do índice de refracção 2142 (RID, Pharmacia). A identificação dos oligofrutanos foi feita através da comparação dos seus tempos de retenção com os dos oligofrutanos purificados a partir de Neosugar P ou de *H. tuberosus* e através das razões glicose/frutose de cada oligofrutano (Koops e Jonker, 1994).

As análises de HPAEC dos oligofrutanos e frutanos com um grau mais elevado de polimerização foram efectuadas num cromatógrafo iónico Dionex Series 4000 equipado com uma coluna de permuta aniónica CarboPac PA1 de  $250 \times 4$  mm e uma coluna de guarda CarboPac PA de  $25 \times 3$  mm. Os frutanos foram separados com um gradiente linear de 60 min de 0,25 a 0,4 mol m<sup>-3</sup> de NaAc em NaOH 0,1 mol m<sup>-3</sup> a um caudal de 1 ml min<sup>-1</sup>. A detecção foi feita através de amperometria pulsada (PAD) com um eléctrodo de ouro. O potencial aplicado de um pulso foi mantido a 0,1, 0,6 e -0,6 V durante 0,5, 0,1 e 0,05 segundos, respectivamente. A ramnose foi utilizada como padrão interno. Os frutanos foram identificados através de comparação dos seus tempos de retenção com os dos padrões de frutanos isolados e purificados a partir de *H. tuberosus* de acordo com o método de Heinze e Praznik (1991).

#### **Sequenciação dos aminoácidos de 1-SST e 1-FFT**

As fracções de Mono Q de 1-SST ou as fracções de Superdex 75 de 1-FFT foram dessalinizadas e concentradas através de centrifugação em dispositivos de ultrafiltração Centricon-10 (2 cm<sup>3</sup>) (Grace B.V., Amicon division, Holanda) e subsequentemente recolhidas através de precipitação em acetona aquosa a 80% (v/v) a -20°C. 1-SST e 1-FFT (50 µg de cada) foram dissolvidas em tampão SDS (Laemmli, 1970) e separadas num ExcelGel SDS pré-polimerizado, gradiente 8-18. As proteínas foram coradas com Azul Brilhante de Coomassie de acordo com Rosenfeld et al. (1992). A 1-SST

corada (2 bandas; devido à sua instabilidade intrínseca a 1-SST é clivada através do tratamento com SDS) e as bandas de 1-FFT foram excisadas com um bisturi e lavadas, secas e parcialmente re-hidratadas de acordo com o procedimento de Rosenfeld *et al.* (1992). Foi adicionada tripsina com qualidade para sequenciação (0,5 µg; Boehringer, Alemanha) à fatia de gel e a digestão no gel das proteínas foi realizada durante 4 h a 30°C. Os péptidos resultantes foram recuperados através de duas extracções de 20 minutos cada, com 50 µl de acetonitrilo, água, ácido trifluoroacético e Tween 20 (60:40:0,001:0,0002, v/v). A mistura peptídica resultante foi separada através de RP-HPLC preparativa numa coluna SuperPac Pep-S de 9,3×250 mm (Pharmacia) eluída com um gradiente linear de TFA a 0,1% em acetonitrilo aquoso a 0 a 60% a um caudal de 4 ml min<sup>-1</sup>. As fracções peptídicas individuais foram colhidas manualmente e armazenadas a -80°C. As sequências de aminoácidos dos péptidos seleccionados foram determinadas através de degradação de Edman, utilizando um sequenciador de pulsos líquidos modelo 477A, ligado em linha a uma unidade de RP-HPLC modelo 120A (Applied Biosystems). As sequências de aminoácidos específicas para 1-SST ou FTT foram traduzidas nas sequências de ADN degeneradas correspondentes (Exemplo 1, Tabela 1), que, por sua vez, foram utilizadas como iniciadores para PCR.

#### **Metodologia de ADN**

O isolamento de ADN e ARN, a subclonagem, a análise de restrição e a sequenciação foram efectuados uti-

lizando métodos padrão descritos em manuais de biologia molecular (Sambrook et al. 1989; Ausubel et al. 1994).

**Síntese de ADNc**

ARN poli(A)<sup>+</sup> foi isolado a partir de tubérculos de *H. tuberosus* "Colombia". O ADNc de cadeia simples foi sintetizado através de transcriptase reversa a partir de 10 µg de ARN poli(A)<sup>+</sup> iniciando o ARN poli(A)<sup>+</sup> com o seguinte iniciador específico da cauda:

5'-CCGAATTCAATACTGACTCACTATAGCG(T)<sub>15</sub>-3'.

**PCR**

Os oligonucleótidos degenerados específicos para 1-SST ou 1-FFT e o iniciador específico da cauda, 5'-CCGAATTCAATACTGACTCACTATAGCG-3' foram utilizados para amplificação do ADNc de cadeia simples. A PCR foi efectuada em 50 µl de tampão de PCR (Life Technologies), contendo 100 pmol de ADNc molde, 100 pmol do iniciador específico da cauda e 100 pmol dos iniciadores específicos para 1-SST ou 1-FFT. A amplificação envolveu 30 ciclos de desnaturação (1 min, 92°C), ligação (1 min, 42°C) e amplificação (1 min, 72°C). Os fragmentos resultantes foram sujeitos a electroforese em agarose a 0,7%, excisados do gel, isolados da matriz de agarose e subclonados no vector pMOSBlue (Amersham). Os fragmentos específicos de 1-SST e 1-FFT gerados através de PCR foram utilizados para pesquisar uma biblioteca de ADNc Uni-ZAP XR.

**Construção e pesquisa de uma biblioteca de ADNc**

10 µg de ARN poli(A)<sup>+</sup> isolado a partir de tubérculos de *H. tuberosus* "Colombia" foram utilizados como material de partida para a construção de uma biblioteca de ADNc Uni-ZAP XR (Stratagene). A construção, plaqueamento e pesquisa da biblioteca foram efectuados de acordo com os protocolos desenvolvidos por Stratagene (La Jolla, California, cat. nº 237211). As sondas de ADN marcadas com <sup>32</sup>P específicas para 1-SST ou 1-FFT foram preparadas através de iniciação com oligonucleótidos aleatórios para pesquisar cerca de 100000 placas. A hibridação e lavagem da membrana Hybond-N foram efectuadas sob condições de elevado rigor (hibridação a 65°C, passo final de lavagem com SSC 0,1×, SDS a 0,1%, 65°C). Os clones positivos foram purificados, os fagomídeos pBluescript excisados do vector Uni-ZAP utilizando o sistema Exassist/Solr (Stratagene) e as inserções analisadas através de análise com enzimas de restrição, hibridação e sequenciação.

**Análise das plantas transgénicas****Análise de açúcares e frutanos**

50 mg de tecido foliar foi congelado em N<sub>2</sub> líquido e homogeneizado em 0,1 cm<sup>3</sup> de água Milli-Q num tubo Eppendorf. O homogenato foi aquecido a 90°C durante 5 min, depois centrifugado a 14000 g durante 10 min. O sobrena-

dante transparente foi analisado através de TLC: 2  $\mu$ l do sobrenadante foram colocados numa placa de sílica-gel G 1500 (Schleicher & Schuell). As placas TLC foram reveladas duas vezes com acetona, água (9:1, v/v), ou butan-1-ol, propan-2-ol e água (3:12:4, v/v). Os hidratos de carbono foram visualizados através de vaporização das placas TLC com ureia-ácido fosfórico (Wise et al., 1955).

#### *Ensaio de 1-FFT*

Tecido foliar (50 mg) foi congelado em N<sub>2</sub> líquido e homogeneizado num tubo Eppendorf em 0,1 cm<sup>3</sup> de tampão fosfato (P) 25 mol m<sup>-3</sup>, pH 6,5, contendo, MgSO<sub>4</sub> 2 mol m<sup>-3</sup>, Na<sub>2</sub>EDTA 2 mol m<sup>-3</sup>, PMSF 2 mol m<sup>-3</sup> (Sigma, USA), DTT 2 mol m<sup>-3</sup>, PVPP solúvel a 1,5% (p/v) (Merck) e Na<sub>2</sub>S<sub>2</sub>O<sub>5</sub> 20 mol m<sup>-3</sup>. O homogenato foi centrifugado a 14000 g durante 10 min a 4°C. O sobrenadante transparente foi utilizado para o ensaio de 1-FFT. Foram misturados 50  $\mu$ l do sobrenadante com 50  $\mu$ l de uma mistura de ensaio, contendo G-(F)<sub>3</sub> 2 mol m<sup>-3</sup>, G-(F)<sub>4</sub> 80 mol m<sup>-3</sup>, tampão citrato/fosfato 50 mol m<sup>-3</sup>, pH 5,5 e NaN<sub>3</sub> 0,02% (p/v). A mistura de ensaio foi incubada no escuro a 28°C. Foram tomadas amostras de 15  $\mu$ l após 4, 20, 44 e 68 h de incubação e analisadas através de TLC.

#### **EXEMPLOS**

**Exemplo 1. Purificação da sacarose:sacarose-frutosil-transferase (1-SST) e da frutano-frutosiltransferase (1-FFT), e isolamento dos ADNcs codificando 1-SST e 1-FFT**

A 1-SST e a 1-FFT foram purificadas a partir de tubérculos de *Helianthus tuberosus* utilizando técnicas de precipitação, vários procedimentos sucessivos de cromatografia e electroforese. As fracções com actividade de 1-SST, que eluíram da coluna Mono Q deram uma banda após PAGE nativo. A 1-SST é clivada por SDS, portanto a análise através de SDS-PAGE produziu duas bandas de 27 e 55 kDa (Fig. 1, pista 2). As fracções com actividade de 1-FFT que eluíram da coluna de permeação em gel Superdex 75 deram em SDS-PAGE uma banda com um peso molecular estimado de 70 kDa (Fig. 1, pista 3). A 1-SST sozinha foi capaz de sintetizar oligofrutanos a partir de sacarose como único substrato (Fig. 3A, 80 h de incubação). Através da recombinação de 1-SST purificada com 1-FFT purificada, a sacarose pode ser convertida em frutanos com um grau de polimerização de pelo menos 15 [G-(F)<sub>14</sub>, Fig. 3B, 80 h de incubação].

Para a sequenciação de aminoácidos através do método de degradação de Edman (fenilisotiocianato), as bandas proteicas de 27 kDa (1-SST), 55 kDa (1-SST) e 70 kDa (1-FFT) foram excisadas do gel de SDS-PAGE e sujeitas a digestão proteolítica através de tripsina. As misturas peptídicas resultantes foram separadas através de RP-HPLC em corridas separadas (Figs. 2A-C). Os péptidos que eluíram após 26 min e 37 min (ambos do fragmento de 25 kDa de 1-SST, Fig. 2A), 27 min, 34 min e 37 min (do fragmento de 55 kDa de 1-SST, Fig. 2B), 28 min e 32 min (de 1-FFT, Fig. 2C, a fracção que eluiu a 32 min continha os péptidos 7 e 8) foram recolhidos manualmente e sujeitos a sequenciação dos aminoácidos N-terminais (Tabela 1).

*Tabela 1. Sequências de aminoácidos de péptidos seleccionados obtidos após digestão com tripsina de 1-SST (polipéptidos de 25 e 55 kDa) e 1-FFT, e separação das misturas peptídicas resultantes através de RP-HPLC.*

Proteína	Sequência de aminoácidos	Sequência de ADN do iniciador de PCR
1 1-SST 0,25 kDa	ADVLF??TTSEGSVAR	
2 idem	EQLPVYFYIAK	5' - GARCARYTNCCNGTNTAYTTYTAYATH GCNAAR-3'
3 1-SST 0,55 kDa	VVLDLETK	
4 idem	FRDPSTLWL?PDGEY	
5 idem	GWANIL	
6 1-FFT	GWATVYNVGR	5' -GGNTGGGCNACNGTNTAYAAY-3'
7 idem	LLVDHSIVEGFAQGGR	5' -ATHGTNGARGGNTTYGCNCAR-3
6 idem	VGESDS	

As sequências de aminoácidos 2 (1-SST, 25 kDa), 6 e 7 (1-FFT) foram utilizadas para desenhar iniciadores de ADN específicos para 1-SST ou 1-FFT que foram utilizados para PCR. A PCR que utilizou os iniciadores 2, 6 ou 7 produziu ADN de cerca de 450, 800 pb e 300 pb, respectivamente. PCR interna ("nested"), utilizando o oligonucleotídeo 7 como iniciador específico e o fragmento de PCR de 800 pb como molde, produziu novamente o fragmento de PCR de 300 pb o que indicou que o fragmento de 300 pb está incluído no fragmento de 800 pb.

Uma biblioteca de ADNc Uni-ZAP construída a partir de tubérculos de *H. tuberosus* foi pesquisada com o fragmento de 450 pb de 1-SST ou o fragmento de 800 pb de 1-FFT. A pesquisa de cerca de 100000 clones de ADNc produziu cerca de 20 clones positivos que hibridaram com o fragmento de 450 pb e 5 clones que hibridaram com o fragmento de 800 pb. O ADN dos clones que hibridaram com o fragmento de 450 pb não hibridou com o fragmento de 800 pb e vice-versa. Os clones positivos foram purificados, os fagomídeos pBlue-script excisados do vetor uni-ZAP e a inserção caracterizada através de análise com enzimas de restrição, hibridação e sequenciação.

As sequências de ADN de 1-SST e 1-FFT e suas sequências de aminoácidos correspondentes são apresentadas na Fig. 4A e Fig. 4B, respectivamente. A Sequência ID NO: 1, codificando 1-SST, tem um enquadramento de leitura aberto de 1800 pares de bases e codifica uma proteína de 630 resíduos de aminoácidos. Ao nível do ADN, a 1-SST mostra uma identidade de 68% com o ADNc da  $\beta$ -frutofuranosidase ácida solúvel (= invertase ácida) de cenoura (*Daucus carota*). Ao nível dos aminoácidos, a 1-SST apresenta uma semelhança de 66% com a  $\beta$ -frutofuranosidase ácida solúvel de cenoura.

A Sequência ID NO: 2, codificando 1-FFT, possui um enquadramento de leitura aberto de 1845 pares de bases e codifica uma proteína de 615 aminoácidos e um peso molecular de cerca de 69 kDa. Isto corresponde ao peso

molecular da proteína 1-FFT purificada tal como estabelecido através de SDS-PAGE (Koops e Jonker, 1994). Ao nível do ADN, a 1-FFT apresenta uma identidade de 65% com o ADNc da  $\beta$ -frutofuranosidase ácida solúvel (= invertase ácida) de cenoura. Ao nível dos aminoácidos, a 1-FFT apresenta uma semelhança de 60% com a  $\beta$ -frutofuranosidase ácida solúvel de cenoura.

Embora a 1-SST e a 1-FFT tenham um grau relativamente elevado de homologia com a invertase ácida mostrou-se que a 1-SST ou a 1-FFT e a invertase são enzimas distintamente diferentes. Mostrou-se que a 1-SST e a 1-FFT são incapazes de catalisar a hidrólise da sacarose (actividade de invertase). A actividade hidrolítica da 1-SST e 1-FFT purificadas contra a sacarose foi testada num intervalo de pH e de concentrações de sacarose. Não houve actividade de invertase significativa sob nenhuma destas condições (Koops e Jonker, 1994). Não foi observada qualquer homologia superior a 68% entre a sequência de ADN codificando 1-SST e qualquer sequência de ADN conhecida nas bases de dados de sequências nucleotídicas PDB, GENBANK, actualizações de GENBANK, EMBL e actualizações de EMBL. Não se observou uma homologia superior a 65% para a sequência de ADN codificando 1-FFT com qualquer sequência de ADN conhecida nas bases de dados de sequências nucleotídicas PDB, GENBANK, actualizações de GENBANK, EMBL e actualizações de EMBL.

**Exemplo 2. Construção de um gene *sst* quimérico**

O clone de ADNc de *sst* inteiro, designado pSST 103, foi utilizado para a introdução de um local *NcoI* no ATG (posição 34), e um local *EcoRV* a jusante do codão stop (na posição 1924) utilizando PCR. Do plasmídeo pMOG18 (Pen et al., 1992) que contém o promotor CaMV35S estimulado, a sequência líder ALMV, o gene *uidA* e a sequência terminadora *nos*, a sequência de codificação de *uidA* foi substituída pelo ADNc de *sst*. pMOG18 foi digerido com *BamHI*, preenchido com ADN-polimerase Klenow, e digerido com *NcoI*. O fragmento de PCR de *sst*, cortado com *NcoI* e *EcoRI*, foi ligado neste vector, resultando no clone pSST217. O fragmento *EcoRI/HindIII* de pSST217 contendo a construção quimérica completa (enh.35S+ALMV-*sst-nos*) foi clonado no local *EcoRI* e *HindIII* de pBINPLUS (Van Engelen et al., 1995), um vector binário de transformação de plantas derivado de pBIN19 (Bevan, 1984) resultando no plasmídeo pVS1 (Fig. 5A).

**Exemplo 3. Construção de um gene *fft* quimérico**

O clone de ADNc de *fft* inteiro, designado pFFT 111, foi utilizado para a introdução de um local *NcoI* no ATG (posição 29) e um local *BamHI* a jusante do codão stop (na posição 1874) utilizando PCR. Do plasmídeo pMOG18 (Pen et al., 1992) que contém o promotor CaMV35S estimulado, a sequência líder ALMV, o gene *uidA* e a sequência terminadora *nos*, a sequência de codificação de *uidA* foi substituída pelo ADNc de *fft*. O fragmento de PCR digerido com *NcoI* e

*Bam*HI foi ligado no vector pMOG18 digerido com *Nco*I e *Bam*HI, resultando no clone pFFT209. O fragmento *Hind*III/*Eco*RI de pFFT209 contendo a construção quimérica completa (enh.35S+ALMV-*fft-nos*) foi clonado no local *Hind*III e *Eco*RI de pBINPLUS (Van Engelen et al., 1995), um vector binário de transformação de plantas derivado de pBIN19 (Bevan, 1984) resultando no plasmídeo pVF1 (Fig. 5B).

#### **Exemplo 4. Transformação de plantas de Petúnia e batata**

Os vectores binários pVS1 e pVF1 (Fig. 5) foram conjugados a partir de *E. coli* XL1-Blue com a estirpe AGLO de *Agrobacterium tumefaciens* através de cruzamento triparental (Ditta et al., 1980). Os exconjugados foram utilizados para transformar discos foliares de *Petunia hybrida* tal como descrito por Horsch et al., 1985. Os discos foliares foram preparados a partir de folhas do topo de plantas jovens que não floriam. A variedade W115 de *P. hybrida* foi utilizada para as experiências de transformação. Os exconjugados foram também utilizados para transformar explantes do caule de batateiros diplóides (*Solanum tuberosum*, variedade Kardal) tal como descrito anteriormente (Visser, 1991). Após regeneração de rebentos e raízes em meio contendo canamicina, as plantas foram colocadas em solo e transferidas para a estufa. Plantas regeneradas (em meio sem canamicina) a partir de discos foliares e de explantes do caule tratados com a estirpe AGLO de *Agrobacterium* sem um vector binário serviram como controlo.

**Exemplo 5. Análise de plantas transgénicas expressando os genes *sst* e *fft***

Foram geradas cerca de 25 plantas transgénicas de *Petunia* e 25 batateiros transgénicos ancorando a construção pVS1 e 25 *Petunia* e batateiros transgénicos ancrando a construção pVF1. Dez *Petunia* e dez batateiros foram transformados com a estirpe AGL0 de *Agrobacterium* sem um vector binário. Estas plantas foram utilizadas como controlo. A análise de "Southern blot" do ADN genómico isolado a partir das plantas transformadas mostrou que em média eram integradas 1-5 cópias dos genes quiméricos introduzidos (dados não mostrados).

A composição em hidratos de carbono das plantas transgénicas foi analisada através de duas técnicas essencialmente diferentes: cromatografia de camada fina (TLC), que separa os hidratos de carbono com base na partição líquido-líquido (após TLC, os frutanos foram detectados através de uma reacção colorida específica da frutose) e HPAEC, que separa os hidratos de carbono em condições alcalinas (pH 13) com base na carga e detecta hidratos de carbono através de oxidação com um eléctrodo de ouro. A análise dos extractos de folhas do batateiro e de *Petunia* ancorando a construção pVS1 mostrou que ambas as espécies de plantas transgénicas contêm produtos que são o resultado da actividade de SST. A TLC mostrou a presença de pelo menos um trissacárido G-(F)<sub>2</sub> e de preferência também o

tetrassacárido G-(F)<sub>3</sub> e o pentassacárido G-(F)<sub>4</sub> em extractos de folhas de batateiro, enquanto que estes oligofrutanos estavam ausentes nas plantas de controlo (Fig. 6). A presença de G-(F)<sub>2</sub> e G-(F)<sub>3</sub> nos extractos de folhas de batateiro mas também de plantas de *P. hybrida* transgénicas foi demonstrada através de análise HPAE (Figs. 7 e 8). HPAEC, que é mais sensível e mais específica que TLC, revelou também uma pequena quantidade de G-(F)<sub>4</sub> em batateiros transgénicos (Fig. 8). Os resultados das Figs. 6-8 indicam claramente que o gene *sst* é expresso numa proteína SST enzimaticamente activa tanto em *P. hybrida* como em batateiro.

As plantas transgénicas ancorando a construção pVF1 não continham frutanos porque a FFT necessita de oligofrutanos (como G-(F)<sub>2</sub> ou G-(F)<sub>3</sub>) como substratos iniciais para a síntese de frutanos. Os oligofrutanos não estão presentes em plantas sem actividade de SST tais como o batateiro ou a *Petunia* de tipo selvagem, ou plantas transgénicas contendo apenas a construção pVF1. A presença de actividade de FFT em plantas transgénicas ancorando a construção pVF1 é portanto verificada através de medições da actividade de FFT. O ensaio de FFT utilizado para avaliar a presença de uma FFT activa em batateiro transgénico foi baseado na capacidade da FFT para catalisar a síntese de G-(F)<sub>n</sub>, n>4, à custa de G-(F)<sub>4</sub>. O extracto proteico de folhas total de batateiro ancorando a construção pVF1, foi misturado com uma mistura de ensaio contendo G-(F)<sub>4</sub> e a presença de frutanos com um maior grau

de polimerização ( $G-(F)_n$ ,  $n > 4$ ) foi examinada através de TLC. Logo após 4 h de incubação, pôde-se detectar  $G-(F)_5$  e  $G-(F)_6$ . Após 44 h de incubação, podiam ser detectados frutanos com um grau de polimerização superior a 4, incluindo  $G-(F)_4$ ,  $G-(F)_5$ ,  $G-(F)_6$ ,  $G-(F)_7$  e  $G-(F)_8$ , enquanto que estes frutanos estavam ausentes das misturas de controlo (Fig. 9). Isto indica que também o gene *fft* é expresso numa proteína FFT enzimaticamente activa.

#### **DESCRICAÇÃO DAS FIGURAS**

Fig. 1. Análise das fracções de Mono Q da purificação de 1-SST e das fracções de Superdex HR 75 da purificação de 1-FFT em SDS-PAGE. Pista 1, marcador do Peso Molecular (PM é dado em kDa); pista 2, fracção de Mono Q com actividade de 1-SST; pista 3, fracções de Superdex HR 75 com actividade de 1-FFT.

Fig. 2. Separações em RP-HPLC de digeridos tripticos de: a. o polipéptido de 25 kDa de 1-SST (A); b. o polipéptido de 55 kDa de 1-SST (B); c. o polipéptido de 1-FFT de 70 kDa (C). As fracções de péptidos que eluem livres indicadas com setas foram colhidas manualmente e sujeitas a sequenciação de aminoácidos.

Fig. 3. Separações em HPAEC de oligofrutanos sintetizados a partir de sacarose através de 1-SST purificada (A) e através de uma mistura de 1-SST purificada e 1-FFT purificada (B). As reacções foram efectuadas em

sacarose 100 mol m<sup>-3</sup>, DTT 2 mol m<sup>-3</sup>, tampão citrato/fosfato 10 mol m<sup>-3</sup>, pH 5,0, Na-azida a 0,01% a 25°C. O tempo da reacção foi de 80 h. A reacção foi parada fervendo a mistura reaccional durante 5 min. A ramnose foi utilizada como padrão interno.

Fig. 4. Sequência nucleotídica e sequência de aminoácidos deduzida do ADNc isolado de 1-SST (A) e 1-FFT (B). A sequência de aminoácidos determinada através de sequenciação dos aminoácidos (ver também Tabela 1) das proteínas 1-SST e 1-FFT purificadas está sublinhada.

Fig. 5. Construções génicas pVS1 (A) e pVF1 (B). As construções quiméricas consistem no promotor CaMV35S estimulado com o estimulador da tradução ALMV (X), a sequência de codificação de *sst* (Y) ou *fft* (W), e o sinal de terminação *nos* (Z). Os locais de restrição que foram utilizados no procedimento de clonagem estão indicados.

Fig. 6. Análise de TLC dos frutanos em batateiros transgénicos ancorando a construção pSF1. As placas de TLC foram reveladas duas vezes em acetona aquosa a 90%. S = padrão de sacarose, G = padrão de glicose, F = padrão de fructose, H = mistura padrão de frutanos de tubérculos de *H. tuberosus*, N = padrão de Neosugar, K = G-(F)<sub>2</sub>-padrão. Os N<sup>o</sup>s 1-6 representam batateiros individuais ancorando a construção pVS1. C é a planta de controlo ancorando a construção AGL0.

Fig. 7. Separações em HPAEC de hidratos de carbono extraídos a partir de folhas de *Petunia hybrida* ancorando a construção pVS1 (a), uma mistura padrão de frutanos extraída de tubérculos de *H. tuberosus* (b), e hidratos de carbono de folhas da Petúnia de controlo ancorando a construção AGL0 (c).

Fig. 8. Separações em HPAEC dos hidratos de carbono extraídos de folhas de batateiro (*Solanum tuberosum*) ancorando a construção pVS1 (a), uma mistura padrão de frutanos extraída de tubérculos de *H. tuberosus* (b) e hidratos de carbono de folhas do batateiro de controlo ancorando a construção AGL0 (c).

Fig. 9. Análise de TLC de frutanos sintetizados a partir de G-(F)<sub>4</sub> através de extractos proteicos de folhas de batateiros transgénicos ancorando a construção pVF1. As placas de TLC foram reveladas duas vezes em butan-1-ol, propan-2-ol e água (3:12:4, v/v). S = padrão de sacarose; N = padrão de Neosugar, H = mistura padrão de frutanos de tubérculos de *H. tuberosus*. Os N<sup>os</sup> 1-8 representam diferentes batateiros individuais transgénicos ancorando a construção pVF1. C<sub>1</sub> e C<sub>2</sub> são as plantas de controlo ancorando a construção AGL0.

#### **DEFINIÇÕES E ABREVIATURAS**

A nomenclatura dos frutanos está de acordo com Lewis (1993).

**Unidade frutosil:** uma molécula de frutose ligada a outra molécula de açúcar (p. ex., glicose, frutose ou galactose). Abreviada como -F (p. ex., em G-F) ou -F- (p. ex., G-F-F). Para moléculas consistindo em mais de uma unidade frutosil (p. ex., G-F-F-F-F-F) é utilizada uma designação condensada [G-(F)<sub>6</sub>] ou GF<sub>6</sub>. G-(F)<sub>6</sub> consiste numa unidade glicosil e 6 unidades frutosil. G-(F)<sub>6</sub> consiste numa ligação frutosil-glicose e 5 ligações frutosil-frutose.

**Oligofrutanos:** Qualquer composto com uma, duas ou três ligações frutosil-frutose (pode estar presente uma glicose mas não é necessário). No presente pedido, o termo oligofrutanos foi utilizado para denominar os produtos de actividade de SST [G-(F)<sub>2</sub>, G-(F)<sub>3</sub> e G-(F)<sub>4</sub>]. Os oligofrutanos são mais vulgarmente denominados como frutanos de cadeia curta ou frutanos com um baixo grau de polimerização. No presente pedido os oligofrutanos incluem também compostos consistindo em 2, 3 ou 4 unidades frutosil, mas sem a unidade glicosil.

**Frutanos:** Qualquer composto no qual uma ou mais ligações frutosil-frutose constituem a maioria das ligações (uma glicose pode estar presente mas não é necessário). Frutano é utilizado como sujeito numerativo em que os materiais referidos são quimicamente distintos (p. ex., os frutanos G-(F)<sub>2</sub> e G-(F)<sub>13</sub>). No presente pedido, os frutanos são definidos como produtos de actividade de FFT (G-F<sub>n</sub>, 2≤n<±60). A menos que indicado de outro modo, os frutanos

incluem também oligofrutanos. Para denominar um grupo restrito de frutanos é utilizada a denominação "G-F<sub>n</sub>, n=.". No presente pedido os frutanos incluem também compostos consistindo em mais de 1 unidade frutosil, mas sem a unidade glicosil.

**Inulina:** Frutano que tem maioritariamente a ligação  $\beta$ -2,1-frutosil-frutose (pode estar presente uma glicose, mas não é necessário). A utilização cumulativa vs. numerativa como substantivo é a mesma que para o frutano acima.

**Levano:** Frutano que tem maioritariamente a ligação  $\beta$ -2,1-frutosil-frutose (é permitida uma glicose, mas não é necessário). O levano é também utilizado para denominar os frutanos de origem bacteriana, embora os frutanos bacterianos não consistam sempre em ligações predominantemente  $\beta$ -2,6-frutosil-frutose. Por exemplo, os frutanos sintetizados através de levanossacarase de *Bacillus subtilis* têm predominantemente ligações  $\beta$ -2,1-frutosil-frutose (inulina). A utilização cumulativa vs. numerativa de levano como substantivo é a mesma que para frutano.

**Levanossacarase:** Enzimas de origem bacteriana que estão envolvidas na síntese de frutano.

**Sacarose:sacarose-frutosiltransferase (SST) :**

Enzima derivada de plantas que catalisa o passo inicial da

síntese de frutanos (reacção 2). A enzima pode também estar envolvida na síntese de oligofrutanos [ $G-(F)_n$ ,  $2 \leq n \leq 4$ ] (reacção 3). No presente pedido, a designação SST pode incluir 1-SST, uma forma de SST envolvida na biossíntese de oligofrutanos que possuem maioritariamente a ligação  $\beta$ -2,1-frutosil-frutose; ou 6-SST, uma forma de SST envolvida na biossíntese de oligofrutanos que têm maioritariamente a ligação  $\beta$ -2,6-frutosil-frutose; ou 1-SST e 6-SST.

**Frutano:frutano-frutosiltransferase (FFT):** Enzima derivada de plantas envolvida na síntese de frutanos. Enzima capaz de catalisar a síntese de oligofrutanos e frutanos de um grau mais elevado de polimerização. A FFT de *H. tuberosus* tem actividade sobreponível com a de SST de *H. tuberosus* (reacção 3), mas não pode catalisar o passo inicial da síntese de frutanos (reacção 2). No presente pedido, a designação FFT pode incluir 1-FFT, uma forma de FFT envolvida na biossíntese dos oligofrutanos que tem maioritariamente a ligação  $\beta$ -2,1-frutosil-frutose; ou 6-FFT, uma forma de FFT envolvida na biossíntese de frutanos que tem maioritariamente a ligação  $\beta$ -2,6-frutosil-frutose; ou 1-FFT e 6-FFT.

**Invertase:**  $\beta$ -frutosidase ou  $\beta$ -frutofuranosidase.

**Grau de polimerização (GP):** termo para indicar a quantidade total de resíduos frutosil e glicosil; por exemplo,  $G-(F)_2$  tem um GP de 3. O valor de n em  $G-F_n$  aumenta com um grau crescente de polimerização.

**Perfil de frutanos:** termo para descrever o padrão do tamanho/distribuição dos frutanos ou, alternativamente, as quantidades relativas e os tipos de frutanos, num extracto derivado por exemplo de uma planta, de um órgão vegetal ou de uma célula vegetal. O método actualmente de maior confiança para analisar um padrão de frutanos de um extracto é através da cromatografia de permuta aniónica de alta resolução e a detecção amperométrica pulsada (Chatterton et al., 1990).

***Helianthus tuberosus*:** girassol-batateiro.

***Cichorium intybus*:** chicória.

**HPLC:** Cromatografia Líquida de Alta Resolução. Técnica para a separação de misturas complexas de compostos. As variantes desta técnica são a cromatografia de alta resolução de fase reversa (**RP-HPLC**) ou a cromatografia de permuta aniónica de alta resolução em combinação com a detecção amperométrica pulsada (**HPAEC-PAD**, ver por exemplo Fig. 3).

## **REFERÊNCIAS**

Angenent, G.C., Ebskamp, M.J.M., Weisbeek, P.J. e Smeekens, S.C.M., "Purification and properties of sucrose-sucrose fructosyltransferases in barley leaves and onion seeds", Em: Fuchs, A, ed. "Inulin and inulin containing crops", Elsevier, Amesterdão, Holanda, págs. 173-184, 1993.

Ausubel, F.M., Brent, R., Kingston, R.E., Moore, D.D., Seidman, J.G., Smith, J.A. e Struhl, K., "Current protocols in molecular biology", John Wiley & Sons, 1994.

Bevan M., "Binary *Agrobacterium* vectors for plant transformation", *Nucleic Acids Research* 12: 8711-8721, 1984.

Carlsson, J., "A levansucrase from *Streptococcus mutans*", *Caries Research* 4: 97-113, 1970.

Chatterton, N.J., Harrison, P.A., Thornley, W.R., Draper, E.A., "Oligosacarids in foliage of *Agropyron*, *Bromus*, *Dactylis*, *Festuca*, *Lolium*, and *Phleum*", *New Phytologist* 114: 167-171, 1990.

Darwen, C.W.E., John, P., "Localization of the enzymes of fructan metabolism in vacuoles isolated by a mechanical method from tubers of Jerusalem artichoke (*Helianthus tuberosus* L.)", *Plant Physiology* 89: 658-663, 1989.

Dedonder, R., "Levanosucrase from *Bacillus subtilis*", *Methods in Enzymology* 8: 500-505, 1966.

Ditta, G., Stanfield, S., Corbi, D. e Helinski, D.R., "Broad host range DNA cloning system for Gram-negative bacteria: Construction of a gene bank of *Rhizobium*

*meliloti*", *Proceedings National Academy Science USA* 77: 7347-7351, 1980.

Ebskamp, M.J.M., Van der Meer, I.M., Spronk, B.A., Weisbeek P.J. e Smeekens J.C.M., "Accumulation of fructose polymers in transgenic tobacco", *Bio/Technology* 12: 272-275, 1994.

Heinze, B. e Praznik, W., "Separation and purification of inulin oligomers and polymers by reversed-phase high-performance liquid chromatography", *Journal of Applied Polymer Science: Applied Polymer Symposium* 48: 207-225, 1991.

Horsch, R.B., Fry, J.E., Hoffman, N.L., Eichholtz, D., Rogers, S.G. e Fraley, R.T., "A simple and general method for transferring genes into plants", *Science* 227: 1229-1232, 1985.

Jacques, N.A. "The fructosyltransferase of *Streptococcus salivarius*", *New Phytologist* 123: 429-435, 1993.

Koops, A.J. e Jonker, H.H., "Purification and characterization of the enzymes of fructan biosynthesis in tubers of *Helianthus tuberosus* "Colombia" I. Fructan:Fructan fructosyltransferase", *Journal of Experimental Botany* 45: 1623-1631, 1994.

Laemmli, U.K., "Cleavage of structural proteins during assembly of the head of bacteriophage T4", *Nature* 227: 680-685, 1970.

Lewis, D.H., "Nomenclature and diagrammatic representation of oligomeric fructans - a paper for discussion", *New Phytologist* 124: 583-594, 1993.

Lüscher, M., Frehner, M., Nösberger, J., "Purification and characterization of fructan:fructan fructosyltransferase from Jerusalem artichoke (*Helianthus tuberosus* L.)", *New Phytologist* 123: 717-24, 1993.

Meier, H., Reid, J.S.G., "Reserve polysaccharides other than starch in higher plants", Ed: Loewus, F.A., Tanner, W., eds. "Encyclopedia of Plant Physiology", New Series 13, Berlin, Springer Verlag, 1418-71, 1982.

Pen, J., Molendijk, L., Quax, W.J., Sijmons, P.C., van Ooyen, A.J.J., van den Elzen, P.J.M., Rietveld, K. e Hoekema, A. "Production of active *Bacillus licheniformis* alpha-amylase in tobacco and its application in starch liquefaction", *Bio/Technology* 10: 292-296, 1992.

Praznik, W., Beck, R.H.F. e Spies, Th., "Isolation and characterization of sucrose:sucrose 1F- $\beta$ -D-fructosyltransferase from tubers of *Helianthus tuberosis*, *L. Agric. Biol. Chem.* 54: 2429-2431, 1990.

Rosenfeld, J., Capdevielle, J., Guillemot, J.C., Ferrara, P. "In-gel digestion of proteins for internal sequence analysis after one- or two-dimensional gel electrophoresis", *Analytical Biochemistry* 203: 173-179, 1992.

Sambrook, J., Fritsch, E.F., Maniatis, T. "Molecular cloning. A laboratory manual", Cold Spring Harbor Laboratory Press, Cold Spring Harbor, 1989.

Sato, S., Kuramitsu, H.K., "Isolation and characterization of a fructosyltransferase gene from *Streptococcus mutans* GS-5", *Infect. Immun.* 52: 166-170, 1986.

Shiomii, N. e Izawa, M., "Purification and characterization of sucrose:sucrose 1-fructosyltransferase from roots of asparagus (*Asparagus officinalis L.*)", *Agric. Biol. Chem.* 44: 603-614, 1980.

Steinmetz, M., Le Coq, D., Aymerich, S., Gonzy Treboul, G., Gay, P., "The DNA sequence of the gene for the secreted *Bacillus subtilis* enzyme levansucrase and its genetic control sites", *Molecular & General Genetics* 200: 220-228, 1985.

Van der Meer, I.M., Ebskamp, M.J.M., Visser, R.G.F., Weisbeek, P.J. e Smeekens, J.C.M., "Fructan as a new carbohydrate sink in transgenic potato plants", *Plant Cell* 6: 561-570, 1994.

Van Engelen, F.A., Molthoff, J.W., Conner, A.J.,  
Nap, J-P., Pereira, A. e Stiekema, W.J. "pBINPLUS: an  
improved plant transformation vector based on pBIN19",  
*Transgenic Research* 4: 288-290, 1995.

Visser, R.G.F., "Regeneration and transformation  
of potato by *Agrobacterium tumefaciens*", Em: "Plant Tissue  
Culture Manual B5", editado por Lindsey, K., Dordrecht,  
Holanda, Kluwer Academic Publishers, págs. 1-9., 1991.

Wagner, W., Keller, F., Wiemken, "Fructan  
metabolism in cereals: induction in leaves and  
compartmentation in protoplasts and vacuoles", *Zeitschrift  
für Pflanzenphysiologie* 112: 359-372, 1983.

Wise, C.S., Dimler, R.J., Davis, H.A., Rist,  
C.E., "Determination of easily hydrolysable fructose units  
in dextran preparations", *Analytical Chemistry* 27: 33-6,  
1955.

#### **LISTAGEM DAS SEQUÊNCIAS**

##### **(1) INFORMAÇÃO GERAL:**

###### **(i) REQUERENTE:**

- (A) NOME: Dr. Andries Jurriaan Koops
- (B) RUA: Droevedaalsesteeg 1
- (C) CIDADE: Wageningen

(E) PAÍS: The Netherlands  
(F) CÓDIGO POSTAL (ZIP): 6708 PB  
(G) TELEFONE: 0317 477055  
(H) TELECÓPIA: 0317 418094

(A) NOME: Dr. Ingrid Maria van der Meer  
(B) RUA: Droevedaalsesteeg 1  
(C) CIDADE: Wageningen  
(E) PAÍS: The Netherlands  
(F) CÓDIGO POSTAL (ZIP): 6708 PB  
(G) TELEFONE: 0317 477142  
(H) TELECÓPIA: 0317 418094

(A) NOME: Dr. Arjen Johannus van Tunen  
(B) RUA: Droevedaalsesteeg 1  
(C) CIDADE: Wageningen  
(E) PAÍS: The Netherlands  
(F) CÓDIGO POSTAL (ZIP): 6708 PB  
(G) TELEFONE: 0317 477058  
(H) TELECÓPIA: 0317 418094

(ii) TÍTULO DO INVENTO: Sequências de ADN codificando enzimas que sintetizam polímeros de hidratos de carbono e método para a produção de plantas transgénicas

(iii) NÚMERO DE SEQUÊNCIAS: 16

(iv) FORMATO LEGÍVEL EM COMPUTADOR:  
(A) TIPO DE MEIO: Disquete

(B) COMPUTADOR: Compatível com IBM PC  
(C) SISTEMA OPERATIVO: PC-DOS/MS-DOS  
(D) SUPORTE LÓGICO: Patent In Release #1.0,  
Versão #1.30 (EPO)

(v) DADOS ACTUAIS DO PEDIDO:

(A) NÚMERO DO PEDIDO: PCT/NL96/00012

(2) INFORMAÇÃO PARA SEQ ID NO: 1:

(i) CARACTERÍSTICAS DA SEQUÊNCIA:

(A) COMPRIMENTO: 2116 pares de bases  
(B) TIPO: ácido nucleico  
(C) CADEIA: dupla  
(D) TOPOLOGIA: linear

(ii) TIPO DE MOLÉCULA: ADNC

(iii) HIPOTÉTICA: NÃO

(iv) ANTI-SENTIDO: NÃO

(vi) FONTE ORIGINAL:

(A) ORGANISMO: *Helianthus tuberosus*  
(B) ESTIRPE: Columbia  
(D) ESTÁDIO DE DESENVOLVIMENTO: Adulto  
(F) TIPO DE TECIDO: Tubérculo  
(G) TIPO CELULAR: parênquima de armazenamento

(vii) FONTE IMEDIATA:

- (A) BIBLIOTECA: lambda Uni-Zap XR (Stratagene,  
USA)
- (B) CLONE: pSST103

(ix) CARACTERÍSTICAS:

- (A) NOME/CHAVE: CDS
- (B) LOCALIZAÇÃO: 34..1923

(x) INFORMAÇÃO DA PUBLICAÇÃO:

- (H) NÚMERO DO DOCUMENTO: WO 89/12386 A1
- (I) DATA DE APRESENTAÇÃO: 21-JUN-1989
- (J) DATA DE PUBLICAÇÃO: 28-DEZ-1989
- (K) RESÍDUOS RELEVANTES EM SEQ ID NO: 1: DE 1 A  
4100

(x) INFORMAÇÃO DA PUBLICAÇÃO:

- (H) NÚMERO DO DOCUMENTO: WO 94/04692 A1
- (I) DATA DE APRESENTAÇÃO: 09-AGO-1993
- (J) DATA DE PUBLICAÇÃO: 03-MAR-1994
- (K) RESÍDUOS RELEVANTES EM SEQ ID NO: 1: DE 1 A  
1438

(x) INFORMAÇÃO DA PUBLICAÇÃO:

- (H) NÚMERO DO DOCUMENTO: WO 94/14970 A1
- (I) DATA DE APRESENTAÇÃO: 28-DEZ-1993
- (J) DATA DE PUBLICAÇÃO: 07-JUL-1994

(xi) DESCRIÇÃO DA SEQUÊNCIA: SEQ ID NO: 1:

GGCACCGAGAA	AAAACCCCTCC	CTCAGGCCAC	CAC	ATG	GCT	TCA	TCC	ACC	Acc	54
			Met	Met	Ala	Ser	Ser	Thr	Thr	
					1				5	
ACC	ACC	CCT	CTC	ATT	CTC	CAT	GAT	GAC	CCT	162
Thr	Thr	Pro	Leu	Ile	Leu	His	Asp	Asp	Pro	
				10		15			20	
ACC	GGT	TCT	CCG	ACA	ACT	CGT	CGT	CTA	TCC	168
Thr	Gly	Ser	Pro	Thr	Thr	Arg	Arg	Leu	Ser	
				25		30		35		
GGG	ATC	CTT	GTT	TCG	GTT	CTG	GTT	ATA	GCT	198
Gly	Ile	Leu	Val	Ser	Val	Leu	Val	Ile	Gly	
				40		45		50	Ala	
AAC	AAC	CAA	ACA	TAT	GAA	TCC	CCC	TCG	GCC	246
Asn	Asn	Gln	Thr	Tyr	Glu	Ser	Pro	Ser	ACA	
				60		65			TTC	
TTG	CCA	AAT	ATT	GAT	CTG	AAG	CGG	GTT	CCA	294
Leu	Pro	Asn	Ile	Asp	Leu	Lys	Arg	Val	GGA	
				75		80		85	AAAG	
GCT	GAG	GTT	CAA	TGG	CAA	CGA	TCC	ACT	TAT	342
Ala	Glu	Val	Glu	Trp	Gln	Arg	Ser	Thr	Tyr	
				90		95			His	
AAT	TTC	ATT	AGC	GAT	CCT	GAT	GSC	CAA	ATG	390
Asn	Phe	Ile	Ser	Asp	Pro	Asp	Gly	Pro	ATG	
				105		110			GGA	
CAT	CTA	TTT	TAT	CAG	TAC	AAC	CCT	CAA	TCT	438
His	Leu	Phe	Tyr	Gln	Tyr	Asn	Pro	Gln	CCC	
				120		125		130	GAC	
ACA	TGG	GGC	CAC	TCG	GTA	TCG	AAA	GAC	ATG	486
Thr	Tyr	His	Ser	Val	Ser	Lys	Asp	Met	ATG	
				140		145		150	TGG	
CCT	TTC	GCC	ATG	GTT	CCT	GAC	CAT	TGG	TAC	534
Pro	Phe	Ala	Met	Val	Pro	Asp	His	Trp	Tyr	
				155		160		165	Asp	
AAC	GGT	TCG	GCT	ACA	GTC	CTC	CCT	AAT	GGT	582
Ser	Gly	Ser	Ala	Thr	Val	Leu	Pro	Asn	CAA	
				170		175			ATC	
TCG	GGC	AAC	GGG	TAT	GAT	CTC	TCC	CAA	GTA	630
Ser	Gly	Asn	Ala	Tyr	Asp	Leu	Ser	Gln	CMA	
				185		190		195	TGC	
CTC	AAC	TCG	TCG	GAT	CCA	CPT	CTT	ATA	GAG	678
Val	Asn	Ser	Ser	Asp	Pro	Leu	Leu	Ile	Glu	
				200		205		210	TGG	

AAC CCT GTC TTA CTC CCA CCA CCA GGA GTC AAC GAC TTT CGG Asn Pro Val Leu Leu Pro Pro Pro Gly Val Gly Tyr Lys Asp Phe Arg 220 225 230	726
GAC CCA TCC ACA TTG TGG TCG CCC CCT GAT GGT GAA TAT AGA ATG GTC Asp Pro Ser Thr Leu Trp Ser Gly Pro Asp Gly Glu Tyr Arg Met Val 235 240 245	774
ATG GGG TCC AAG CAC AAC GAG ACT ATT GGC TCT CCT TTG ATT TAC CAT Met Gly Ser Lys His Asn Glu Thr Ile Gly Cys Ala Leu Ile Tyr His 250 255 260	822
ACC ACT AAT TTT ACC CAT TTT GAA TTG AAA GAG GAG GTC CTT CAT GCA Thr Thr Asn Phe Thr His Phe Glu Leu Lys Glu Glu Val Leu His Ala 265 270 275	870
CTC CCA CAT ACT CGT ATG TCG GAA TGT GTT GAT CTT TAC CCG CTG TCC Val Pro His Thr Gly Met Trp Glu Cys Val Asp Leu Tyr Pro Val Ser 280 285 290 295	918
ACC GTC CAC ACA AAC GGG CTG GAC ATG GTG GAT AAC GGG CCA AAT GTT Thr Val His Thr Asn Gly Leu Asp Met Val Asp Asn Gly Pro Asn Val 300 305 310	956
AAG TAC GTG TTG AAA CAA AGT GGG GAT GAA GAT CGC CAT GAT TGG TAT Lys Tyr Val Leu Lys Gln Ser Gly Asp Glu Asp Arg His Asp Trp Tyr 315 320 325	1014
GCA ATT GGA AGT TAC GAT ATA GTG AAT GAT AAG TGG TAC CCA GAT GAC Ala Ile Gly Ser Tyr Asp Ile Val Asn Asp Lys Trp Tyr Pro Asp Asp 330 335 340	1062
CCG GAA AAT GAT GTG GGT ATC GGA TTA AGA TAT GAT TTT GGA AAA TTT Pro Glu Asn Asp Val Gly Ile Gly Leu Arg Tyr Asp Phe Gly Lys Phe 345 350 355	1110
TAT GCG TCC AAG ACG TTT TAT GAC CAA CAT AAG AAG ACC AGA GTC CTT Tyr Ala Ser Lys Thr Phe Tyr Asp Gln His Lys Lys Arg Arg Val Leu 360 365 370 375	1158
TGG GGC TAT GTT GGA GAA ACC GAT CCC CAA AAG TAT GAC CTT TCA AAG Trp Gly Tyr Val Gly Glu Thr Asp Pro Gln Lys Tyr Asp Leu Ser Lys 380 385 390	1206
GGA TGG GCT AAC ATT TTG AAT ATT CCA AGG ACC GTC GTT TTG GAC CTC Gly Trp Ala Asn Ile Leu Asn Ile Pro Arg Thr Val Val Leu Asp Leu 395 400 405	1254
GAA ACT AAA ACC AAT TTG ATT CAA TGG CCA ATC GAG GAA ACC GAA AAC Glu Thr Lys Thr Asn Leu Ile Gln Trp Pro Ile Glu Glu Thr Glu Asn 410 415 420	1302
CTT AGG TCG AAA AAG TAT GAT GAA TTT AAA GAC GTC GAG CTT CGA CCC Leu Arg Ser Lys Lys Tyr Asp Glu Phe Lys Asp Val Glu Leu Arg Pro 425 430 435	1350

GGG GCA CTC GTT CCC CTT GAG ATA GGC ACA GCG AGA CAG TTG GAT ATA Gly Ala Leu Val Pro Leu Glu Ile Gly Thr Ala Thr Gln Leu Asp Ile 440 445 450 455	1398
GTT GCG ACA TTC GAA ATC GAC CAA AAG ATG TTG GAA TCA ACG CTA GAG Val Ala Thr Phe Glu Ile Asp Gln Lys Met Leu Glu Ser Thr Leu Glu 460 465 470	1446
GCC GAT GTT CTA TTC AAT TGC ACG ACT ATG GAA GGC TCG GTT GCA AGG Ala Asp Val Leu Phe Asn Cys Thr Thr Ser Glu Gly Ser Val Ala Arg 475 480 485	1494
AGT GTG TTG GGA CCG TTT GGT GTG GTG GTT CTA GCC GAT GCC CAG CGC Ser Val Leu Gly Pro Phe Gly Val Val Val Leu Ala Asp Ala Gln Arg 490 495 500	1542
TCC GAA CAA CCTT CCTT GTC TAC TTC TAT ATC GCA AAA GAT ATT GAT GGA Ser Glu Gln Leu Pro Val Tyr Phe Tyr Ile Ala Lys Asp Ile Asp Gly 505 510 515	1590
ACC TCA CGA ACT TAT TTT TGT GGC GAC GAA ACA AGA TCA TCC AAG GAT Thr Ser Arg Thr Tyr Phe Cys Ala Asp Glu Thr Arg Ser Ser Lys Asp 520 525 530 535	1638
GTA AGC GTC GCG AAA TGC TAC GCA AGC AGT GTT CCT GTC CTC CCA Val Ser Val Gly Lys Trp Val Tyr Gly Ser Ser Val Pro Val Leu Pro 540 545 550	1686
GCC GAA AAG TAG AAT ATG AGG TTA TTG GTG GAT CAT TCG ATA GTC GAG Gly Glu Lys Tyr Asn Met Arg Leu Leu Val Asp His Ser Ile Val Glu 555 560 565	1734
GGA TTT GCA CAA AAC GGG AGA ACC GTG GTG ACA TCA AGA GTG TAT CCA Gly Phe Ala Gln Asn Gly Arg Thr Val Val Thr Ser Arg Val Tyr Pro 570 575 580	1782
ACA AAG GCG ATC TAC AAC GCT GCG AAG GTG TTT TTG TTC AAC AAC GCG Thr Lys Ala Ile Tyr Asn Ala Ala Lys Val Phe Leu Phe Asn Asn Ala 585 590 595	1830
ACT GCA ATC ACT GTG AGG TCG ATC AAG ATC TCG AAG ATG GGG GAA Thr Gly Ile Ser Val Lys Ala Ser Ile Lys Trp Lys Met Gly Glu 600 605 610 615	1878
GCA GAA CTC AAT CCT TTC CCT CCT GGG TGG ACT TTC GAA CTT Ala Glu Leu Asn Pro Phe Pro Leu Pro Gly Trp Thr Phe Glu Ile 620 625 630	1923
TGATGTTAT ATTTTGGACC CTATATATGT GTTATTATCA TGATGGTTAT ATTTTGGACC CTATATATGT GTTATTATCA TGAAGCATAA GTTTGGACTG CACGGGGTAT TATTGTAATT TTATATGCAT GTTCTATTAC TTGTGAGGTT ATAGTATGTA ATTAAATTAT TATATACTAT ATCAATTCT ATAT	1983 2043 2103 2116

(2) INFORMAÇÃO PARA SEQ ID NO: 2:

(i) CARACTERÍSTICAS DA SEQUÊNCIA:

- (A) COMPRIMENTO: 630 aminoácidos
- (B) TIPO: aminoácido
- (D) TOPOLOGIA: linear

(ii) TIPO DE MOLÉCULA: proteína

(xi) DESCRIÇÃO DA SEQUÊNCIA: SEQ ID NO: 2:

Met Met Ala Ser Ser Thr Thr Thr Pro Leu Ile Leu His Asp Asp  
1 5 10 15

Pro Glu Asn Leu Pro Glu Leu Thr Gly Ser Pro Thr Thr Arg Arg Leu  
20 25 30

Ser Ile Ala Lys Val Leu Ser Gly Ile Leu Val Ser Val Leu Val Ile  
35 40 45

Gly Ala Leu Val Ala Leu Ile Asn Asn Gln Thr Tyr Glu Ser Pro Ser  
50 55 60

Ala Thr Thr Phe Val Thr Gln Leu Pro Asn Ile Asp Leu Lys Arg Val  
65 70 75 80

Pro Gly Lys Leu Asp Ser Ser Ala Glu Val Glu Trp Gln Arg Ser Thr  
85 90 95

Tyr His Phe Gln Pro Asp Lys Asn Phe Ile Ser Asp Pro Asp Gly Pro  
100 105 110

Met Tyr His Met Gly Trp Tyr His Leu Phe Tyr Gln Tyr Asn Pro Gln  
115 120 125

Ser Ala Ile Trp Gly Asn Ile Thr Trp Gly His Ser Val Ser Lys Asp  
130 135 140

Met Ile Asn Trp Phe His Leu Pro Phe Ala Met Val Pro Asp His Trp  
145 150 155 160

Tyr Asp Ile Glu Gly Val Met Thr Gly Ser Ala Thr Val Leu Pro Asn  
165 170 175

Gly Gln Ile Ile Met Leu Tyr Ser Gly Asn Ala Tyr Asp Leu Ser Gln  
180 185 190

Val Gln Cys Leu Ala Tyr Ala Val Asn Ser Ser Asp Pro Leu Leu Ile  
195 200 205

Glu Trp Lys Lys Tyr Glu Gly Asn Pro Val Leu Leu Pro Pro Pro Gly  
210 215 220

Val Gly Tyr Lys Asp Phe Arg Asp Pro Ser Thr Leu Trp Ser Gly Pro  
225 230 235 240

Asp Gly Glu Tyr Arg Met Val Met Gly Ser Lys His Asn Glu Thr Ile  
245 250 255

Gly Cys Ala Leu Ile Tyr His Thr Thr Asn Phe Thr His Phe Glu Leu  
 260 265 270  
 Lys Glu Glu Val Leu His Ala Val Pro His Thr Gly Met Trp Glu Cys  
 275 280 285  
 Val Asp Leu Tyr Pro Val Ser Thr Val His Thr Asn Gly Leu Asp Met  
 290 295 300  
 Val Asp Asn Gly Pro Asn Val Lys Tyr Val Leu Lys Gln Ser Gly Asp  
 305 310 315 320  
 Glu Asp Arg His Asp Trp Tyr Ala Ile Gly Ser Tyr Asp Ile Val Asn  
 325 330 335  
 Asp Lys Trp Tyr Pro Asp Asp Pro Glu Asn Asp Val Gly Ile Gly Leu  
 340 345 350  
 Arg Tyr Asp Phe Gly Lys Phe Tyr Ala Ser Lys Thr Phe Tyr Asp Gln  
 355 360 365  
 His Lys Lys Arg Arg Val Leu Trp Gly Tyr Val Gly Glu Thr Asp Pro  
 370 375 380  
 Gln Lys Tyr Asp Leu Ser Lys Gly Trp Ala Asn Ile Leu Asn Ile Pro  
 385 390 395 400  
 Arg Thr Val Val Leu Asp Leu Glu Thr Lys Thr Asn Leu Ile Gln Trp  
 405 410 415  
 Pro Ile Glu Glu Thr Glu Asn Leu Arg Ser Lys Lys Tyr Asp Glu Phe  
 420 425 430  
 Lys Asp Val Glu Leu Arg Pro Gly Ala Leu Val Pro Leu Glu Ile Gly  
 435 440 445  
 Thr Ala Thr Gln Leu Asp Ile Val Ala Thr Phe Glu Ile Asp Gln Lys  
 450 455 460  
 Met Leu Glu Ser Thr Leu Glu Ala Asp Val Leu Phe Asn Cys Thr Thr  
 465 470 475 480  
 Ser Glu Gly Ser Val Ala Arg Ser Val Leu Gly Pro Phe Gly Val Val  
 485 490 495  
 Val Leu Ala Asp Ala Gln Arg Ser Glu Gln Leu Pro Val Tyr Phe Tyr  
 500 505 510  
 Ile Ala Lys Asp Ile Asp Gly Thr Ser Arg Thr Tyr Phe Cys Ala Asp  
 515 520 525  
 Glu Thr Arg Ser Ser Lys Asp Val Ser Val Gly Lys Trp Val Tyr Gly  
 530 535 540  
 Ser Ser Val Pro Val Leu Pro Gly Glu Lys Tyr Asn Met Arg Leu Leu  
 545 550 555 560

Val Asp His Ser Ile Val Glu Gly Phe Ala Gln Asn Gly Arg Thr Val  
565 570 575

Val Thr Ser Arg Val Tyr Pro Thr Lys Ala Ile Tyr Asn Ala Ala Lys  
580 585 590

Val Phe Leu Phe Asn Asn Ala Thr Gly Ile Ser Val Lys Ala Ser Ile  
595 600 605

Lys Ile Trp Lys Met Gly Glu Ala Glu Leu Asn Pro Phe Pro Leu Pro  
610 615 620

Gly Trp Thr Phe Glu Leu  
625 630

## (2) INFORMAÇÃO PARA SEQ ID NO: 3:

## (i) CARACTERÍSTICAS DA SEQUÊNCIA:

- (A) COMPRIMENTO: 2003 pares de bases
- (B) TIPO: ácido nucleico
- (C) CADEIA: dupla
- (D) TOPOLOGIA: linear

## (ii) TIPO DE MOLÉCULA: ADNc

## (iii) HIPOTÉTICA: NÃO

## (iv) ANTI-SENTIDO: NÃO

## (vi) FONTE ORIGINAL:

- (A) ORGANISMO: *Helianthus tuberosus*
- (B) ESTIRPE: Columbia
- (D) ESTÁDIO DE DESENVOLVIMENTO: Adulto
- (F) TIPO DE TECIDO: Tubérculo
- (G) TIPO CELULAR: parênquima de armazenamento

(vii) FONTE IMEDIATA:

- (A) BIBLIOTECA: lambda Uni-Zap XR (Stratagene,  
USA)
- (B) CLONE: PFFT111

(ix) CARACTERÍSTICAS:

- (A) NAME/KEY: CDS
- (B) LOCALIZAÇÃO: 29..1873

(x) INFORMAÇÃO DA PUBLICAÇÃO:

- (H) NÚMERO DO DOCUMENTO: WO 89/12386 A1
- (I) DATA DE APRESENTAÇÃO: 21-JUN-1989
- (J) DATA DE PUBLICAÇÃO: 28-DEZ-1989
- (K) RESÍDUOS RELEVANTES EM SEQ ID NO: 3: DE 1 A  
4100

(x) INFORMAÇÃO DA PUBLICAÇÃO:

- (H) NÚMERO DO DOCUMENTO: WO 94/04692 A1
- (I) DATA DE APRESENTAÇÃO: 09-AGO-1993
- (J) DATA DE PUBLICAÇÃO: 03-MAR-1994
- (K) RESÍDUOS RELEVANTES EM SEQ ID NO: 3: DE 1 A  
1438

(x) INFORMAÇÃO DA PUBLICAÇÃO:

- (H) NÚMERO DO DOCUMENTO: WO 94/14970 A1
- (I) DATA DE APRESENTAÇÃO: 28-DEZ-1993
- (J) DATA DE PUBLICAÇÃO: 07-JUL-1994

(xi) DESCRIÇÃO DA SEQUÊNCIA: SEQ ID NO: 3:

GGGACCGAGTA CCASTCCACT CAGTCACC ATG CAA ACC CCT GAA CCC TTT ACA Met Gln Thr Pro Glu Pro Phe Thr 635	52
GAC CTT GAA CAT GAA CCC CAC ACA CCC CTA CTG GAC CAC CAC AAC Asp Leu Glu His Glu Pro His Thr Pro Leu Leu Asp His His Asn 640 645 650	180
CCA CCA CCA CAA ACC ACC ACA AAA CCT TTG TTC ACC AGG GTT GTG TCC Pro Pro Pro Gln Thr Thr Lys Pro Leu Phe Thr Arg Val Val Ser 655 660 665 670	148
GGT GTC ACC TTT GTT TTA TTC TTC TTT GGT TTC GCT ATC GTC ATT TTC ATT Gly Val Thr Phe Val Leu Phe Phe Gly Phe Ala Ile Val Phe Ile 675 680 685	196
GTT CTC AAC CAA CAG AAT TCT TCT GTT CGT ATC GTC ACC AAT TCG GAG Val Leu Asn Gln Gln Asn Ser Ser Val Arg Ile Val Thr Asn Ser Glu 690 695 700	244
AAA TCT TTT ATA AGG TAT TCG CAG ACC GAT CGC TTG TCG TGG GAA CGG Lys Ser Phe Ile Arg Tyr Ser Gln Thr Asp Arg Leu Ser Trp Glu Arg 705 710 715	292
ACC CCT TTT CAT TTT CAG CCT GCC AAG AAT TTT ATT TAC GAT CCA GAT Thr Ala Phe His Phe Gln Pro Ala Lys Asn Phe Ile Tyr Asp Pro Asp 720 725 730	340
GGT CAG TTG TTT CAC ATG GGC TGG TAC CAT ATG TTC TAT CAA TAC AAC Gly Gln Leu Phe His Met Gly Trp Tyr His Met Phe Tyr Gln Tyr Asn 735 740 745 750	388
CCA TAC GCA CCG GTC TGG GGC AAT ATG TCA TGG GGT CAC TCA GTG TCC Pro Tyr Ala Pro Val Trp Gly Asn Met Ser Trp Gly His Ser Val Ser 755 760 765	436
AAA GAC ATG ATC AAC TGG TAC GAG CTG CCA GTC GCT ATG GTC CCG ACC Lys Asp Met Ile Asn Trp Tyr Glu Leu Pro Val Ala Met Val Pro Thr 770 775 780	484
CAA TGG TAT ATC GAG GGC GTC TTA TCC GGG TCT ACC ACG GTC CTT Glu Trp Tyr Asp Ile Glu Gly Val Leu Ser Gly Ser Thr Thr Val Leu 785 790 795	532
CCA AAC GGT CAG ATC TTT GCA TTG TAT ACT GGG AAC GCT AAT GAT TTT Pro Asn Gly Gln Ile Phe Ala Leu Tyr Thr Gly Asn Ala Asn Asp Phe 800 805 810	580
TCC CAA TTG CAA TGC AAA GCT GTA CCC GTA AAC TTA TCT GAC CCG CTT Ser Gln Leu Gln Cys Lys Ala Val Pro Val Asn Leu Ser Asp Pro Leu 815 820 825 830	628
CTP ATT GAG TGG GTC AAC TAT GAG GAT AAC CCA ATC CTG TAC ACT CCA Leu Ile Glu Trp Val Lys Tyr Glu Asp Asn Pro Ile Leu Tyr Thr Pro 835 840 845	676

CCA CGG ATT CGG TTA AAG GAC TAT CCG GAC CCG TCA ACA GTC TGG ACA Pro Gly Ile Gly Leu Lys Asp Tyr Arg Asp Pro Ser Thr Val Trp Thr 850 855 860	724
GCT CCC GAT GGA AAG CAT AGG ATG ATC ATG GGA ACT AAA CGT GGC AAT Gly Pro Asp Gly Lys His Arg Met Ile Met Gly Thr Lys Arg Gly Asn 865 870 875	772
ACA GGC ATG GTC CTT GTT TAC TAT ACC ACT GAT TAC ACG AAC TAC GAG Thr Gly Met Val Leu Val Tyr Tyr Thr Asp Tyr Thr Asn Tyr Glu 880 885 890	820
TTG TTG GAT GAG CCG TTG CAC TCT GTT CCC AAC ACC GAT ATG TGG GAA Leu Leu Asp Glu Pro Leu His Ser Val Pro Asn Thr Asp Met Trp Glu 895 900 905 910	868
TGC GTC GAC TTT TAC CCG GTT TGG TTA ACC AAT GAT ACT GCA CTT GAT Cys Val Asp Phe Tyr Pro Val Ser Leu Thr Asn Asp Ser Ala Leu Asp 915 920 925	916
ATG GCG GCC TAT GGG TCG GGT ATC AAA CAC GTT ATT AAA GAA AGT TGG Met Ala Ala Tyr Gly Ser Gly Ile Lys His Val Ile Lys Glu Ser Trp 930 935 940	964
GAG GGA CAT GGA ATG GAT TGG TAT TCA ATC GGG ACA TAT GAC GCG ATA Glu Gly His Gly Met Asp Trp Tyr Ser Ile Gly Thr Tyr Asp Ala Ile 945 950 955	1012
AAT GAT AAA TGG ACT CCC GAT AAC CCG CAA CTA GAT GTC GGT ATC GGG Asn Asp Lys Trp Thr Pro Asp Asn Pro Glu Leu Asp Val Gly Ile Gly 960 965 970	1060
TTA CGG TCC GAT TAC GGG AGG TTT TTT GCA TCA AAG AGT CTT TAT GAC Leu Arg Cys Asp Tyr Gly Arg Phe Phe Ala Ser Lys Ser Leu Tyr Asp 975 980 985 990	1108
CCA TTG AAG AAA AGG AGG ATC ACT TGG GGT TAT GTT GGA GAA TCA GAT Pro Leu Lys Lys Arg Arg Ile Thr Trp Gly Tyr Val Gly Glu Ser Asp 995 1000 1005	1156
ACT CCT GAT CAG GAC CTC TCT ACA GGA TGG CCT ACT GTT TAT AAT GTT Ser Ala Asp Gln Asp Leu Ser Arg Gly Trp Ala Thr Val Tyr Asn Val 1010 1015 1020	1204
GCA AGA ACA ATT CTA CTA GAT AGA AAG ACC GGG ACC CAT TTA CTT CAT Gly Arg Thr Ile Val Leu Asp Arg Lys Thr Gly Thr His Leu Leu His 1025 1030 1035	1252
TGG CCC GTT GAG GAA GTC GAG AGT TTG AGA TAC AAC GGT CAG GAG TTT Trp Pro Val Glu Glu Val Glu Ser Leu Arg Tyr Asn Gly Gln Glu Phe 1040 1045 1050	1300
AAA GAG ATC AAG CTA GAG CCC GGT TCA ATC ATT CCA CTC GAC ATA GGC Lys Glu Ile Lys Leu Glu Pro Gly Ser Ile Ile Pro Leu Asp Ile Gly 1055 1060 1065 1070	1348

ACG GCT ACA CAG TTG GAC ATA GTT GCA ACA TTT GAG GTG GAT CAA GCA Thr Ala Thr Glu Leu Asp Ile Val Ala Thr Phe Glu Val Asp Gln Ala 1075 1080 1085	1395
GCG TTG AAC GCG ACA ACT GAA ACC GAT GAT ATT TAT GGT TGC ACC ACT Ala Leu Asn Ala Thr Ser Glu Thr Asp Asp Ile Tyr Gly Cys Thr Thr 1090 1095 1100	1444
AGC TTA GGT GCA GCC CAA AGG CGA AGT TTG GCA CCA TTT GGT CTT GCG Ser Leu Gly Ala Ala Gln Arg Gly Ser Leu Gly Pro Phe Gly Leu Ala 1105 1110 1115	1492
GTT CTA GCC GAT GGA ACC CTT TCT GAG TTA ACT CCG GTT TAT TTC TAT Val Leu Ala Asp Gly Thr Leu Ser Glu Leu Thr Pro Val Tyr Phe Tyr 1120 1125 1130	1540
ATA GCT AAA AAG GCA GAT GGA GGT GTC TCG ACA CAT TTT TGT ACC GAT Ile Ala Lys Lys Ala Asp Gly Gly Val Ser Thr His Phe Cys Thr Asp 1135 1140 1145 1150	1588
AAG CTA AGG TCA TCA CTA GAT TAT GAT GGG GAG AGA GTC GTG TAT GGG Lys Leu Arg Ser Ser Leu Asp Tyr Asp Gly Glu Arg Val Val Tyr Gly 1155 1160 1165	1636
GGC ACT GTF CCT GTG TTA GAT GAT GAA GAA CTC ACA ATG AGG CTA TTG Gly Thr Val Pro Val Leu Asp Asp Glu Gln Leu Thr Met Arg Leu Leu 1170 1175 1180	1684
GTC GAT CAT TCG ATA GTG GAG GGG TTT GCG CAA GCA GGA AGG ACG GTT Val Asp His Ser Ile Val Glu Gly Phe Ala Gln Gly Arg Thr Val 1185 1190 1195	1732
ATA ACA TCA AGG CGG TAT CCA ACA AAA CGG ATA TAC CAA CAA CGG AAG Ile Thr Ser Arg Ala Tyr Pro Thr Lys Ala Ile Tyr Glu Gln Ala Lys 1200 1205 1210	1780
CTG TTC TPG TTC AAC AAC GCC ACA GGT ACG ACT GTC AAA GCA TCT CTC Leu Phe Leu Phe Asn Asn Ala Thr Gly Thr Ser Val Lys Ala Ser Leu 1215 1220 1225 1230	1828
AAG ATT TGG CAA ATG GCT TCT GCA CCA ATT CAT CAA TAC CCT TTT Lys Ile Trp Gln Met Ala Ser Ala Pro Ile His Gln Tyr Pro Phe 1235 1240 1245	1873
TAATTACCGG CTATCGCTAT CCTTTTTGTT ATTGGTATTT ATGTATCTTA ATTTTCTTTT AAACCTTTTT ATTGATATAA TATTAGTTCT TGTTATTGTG CTCTCTAGTAA TARATGAATG GTGTTATGGG	1933 1993 2003

(2) INFORMAÇÃO PARA SEQ ID NO: 4:

## (i) CARACTERÍSTICAS DA SEQUÊNCIA:

- (A) COMPRIMENTO: 615 aminoácidos
- (B) TIPO: aminoácido
- (D) TOPOLOGIA: linear

(ii) TIPO DE MOLÉCULA: proteína

(xi) DESCRIÇÃO DA SEQUÊNCIA: SEO ID NO: 4:

Met	Gln	Thr	Pro	Glu	Pro	Phe	Thr	Asp	Leu	Glu	His	Glu	Pro	His
1						5				10				15
Pro	Leu	Leu	Asp	His	His	His	Asn	Pro	Pro	Pro	Gln	Thr	Thr	Thr
											25			30
Pro	Leu	Phe	Thr	Arg	Val	Val	Ser	Gly	Val	Thr	Phe	Val	Leu	Phe
											40			45
Phe	Gly	Phe	Ala	Ile	Val	Phe	Ile	Val	Leu	Asn	Gln	Gln	Asn	Ser
										55			60	
Val	Arg	Ile	Val	Thr	Asn	Ser	Glu	Lys	Ser	Phe	Ile	Arg	Tyr	Ser
										70			75	
Thr	Asp	Arg	Leu	Ser	Trp	Glu	Arg	Thr	Ala	Phe	His	Gln	Pro	Ala
										85			90	
Lys	Asn	Phe	Ile	Tyr	Asp	Pro	Asp	Gly	Gln	Leu	Phe	His	Met	Gly
										100			105	
Tyr	His	Met	Phe	Tyr	Gln	Tyr	Asn	Pro	Tyr	Ala	Pro	Val	Trp	Gly
										115			120	
Met	Ser	Trp	Gly	His	Ser	Val	Ser	Lys	Asp	Met	Ile	Asn	Trp	Tyr
										130			135	
Leu	Pro	Val	Ala	Met	Val	Pro	Thr	Glu	Trp	Tyr	Asp	Ile	Glu	Gly
										145			150	
Leu	Ser	Gly	Ser	Thr	Thr	Val	Leu	Pro	Asn	Gly	Gln	Ile	Phe	Ala
										165			170	
Tyr	Thr	Gly	Asn	Ala	Asn	Asp	Phe	Ser	Gln	Leu	Gln	Cys	Lys	Ala
										180			185	
Pro	Val	Asn	Leu	Ser	Asp	Pro	Leu	Leu	Ile	Glu	Trp	Val	Lys	Tyr
										195			200	
Asp	Asn	Pro	Ile	Leu	Tyr	Thr	Pro	Pro	Gly	Ile	Gly	Leu	Lys	Asp
										210			215	
Arg	Asp	Pro	Ser	Thr	Val	Trp	Thr	Gly	Pro	Asp	Gly	Lys	His	Arg
										225			230	
Ile	Met	Gly	Thr	Lys	Arg	Gly	Asn	Thr	Gly	Met	Val	Leu	Val	Tyr
										245			250	

Thr Thr Asp Tyr Thr Asn Tyr Glu Leu Leu Asp Glu Pro Leu His Ser  
 260 265 270  
 Val Pro Asn Thr Asp Met Trp Glu Cys Val Asp Phe Tyr Pro Val Ser  
 275 280 285  
 Leu Thr Asn Asp Ser Ala Leu Asp Met Ala Ala Tyr Gly Ser Gly Ile  
 290 295 300  
 Lys His Val Ile Lys Glu Ser Trp Glu Gly His Gly Met Asp Trp Tyr  
 305 310 315 320  
 Ser Ile Gly Thr Tyr Asp Ala Ile Asn Asp Lys Trp Thr Pro Asp Asn  
 325 330 335  
 Pro Glu Leu Asp Val Gly Ile Gly Leu Arg Cys Asp Tyr Gly Arg Phe  
 340 345 350  
 Phe Ala Ser Lys Ser Leu Tyr Asp Pro Leu Lys Lys Arg Arg Ile Thr  
 355 360 365  
 Trp Gly Tyr Val Gly Glu Ser Asp Ser Ala Asp Gln Asp Leu Ser Arg  
 370 375 380  
 Gly Trp Ala Thr Val Tyr Asn Val Gly Arg Thr Ile Val Leu Asp Arg  
 385 390 395 400  
 Lys Thr Gly Thr His Leu Leu His Trp Pro Val Glu Glu Val Glu Ser  
 405 410 415  
 Leu Arg Tyr Asn Gly Gln Glu Phe Lys Glu Ile Lys Leu Glu Pro Gly  
 420 425 430  
 Ser Ile Ile Pro Leu Asp Ile Gly Thr Ala Thr Gln Leu Asp Ile Val  
 435 440 445  
 Ala Thr Phe Glu Val Asp Gln Ala Ala Leu Asn Ala Thr Ser Glu Thr  
 450 455 460  
 Asp Asp Ile Tyr Gly Cys Thr Thr Ser Leu Gly Ala Ala Gln Arg Gly  
 465 470 475 480  
 Ser Leu Gly Pro Phe Gly Leu Ala Val Leu Ala Asp Gly Thr Leu Ser  
 485 490 495  
 Glu Leu Thr Pro Val Tyr Phe Tyr Ile Ala Lys Lys Ala Asp Gly Gly  
 500 505 510  
 Val Ser Thr His Phe Cys Thr Asp Lys Leu Arg Ser Ser Leu Asp Tyr  
 515 520 525  
 Asp Gly Glu Arg Val Val Tyr Gly Gly Thr Val Pro Val Leu Asp Asp  
 530 535 540  
 Glu Glu Leu Thr Met Arg Leu Leu Val Asp His Ser Ile Val Glu Gly  
 545 550 555 560

Phe Ala Gln Gly Gly Arg Thr Val Ile Thr Ser Arg Ala Tyr Pro Thr  
565 570 575

Lys Ala Ile Tyr Glu Gln Ala Lys Leu Phe Leu Phe Asn Asn Ala Thr  
580 585 590

Gly Thr Ser Val Lys Ala Ser Leu Lys Ile Trp Gin Met Ala Ser Ala  
595 600 605

Pro Ile His Gln Tyr Pro Phe  
610 615

## (2) INFORMAÇÃO PARA SEQ ID NO: 5:

## (i) CARACTERÍSTICAS DA SEQUÊNCIA:

- (A) COMPRIMENTO: 33 pares de bases
- (B) TIPO: ácido nucleico
- (C) CADEIA: dupla
- (D) TOPOLOGIA: linear

## (ii) TIPO DE MOLÉCULA: ADNc

## (iii) HIPOTÉTICA: NÃO

## (iv) ANTI-SENTIDO: NÃO

## (vi) FONTE ORIGINAL:

- (A) ORGANISMO: *Helianthus tuberosus*
- (B) ESTIRPE: Columbia
- (D) ESTÁDIO DE DESENVOLVIMENTO: Adulto
- (F) TIPO DE TECIDO: Tubérculo
- (G) TIPO CELULAR: parênquima de armazenamento

## (vii) FONTE IMEDIATA:

(A) BIBLIOTECA: lambda Uni-Zap XR (Stratagene,  
USA)

(B) CLONE: pSST103

(x) INFORMAÇÃO DA PUBLICAÇÃO:

(H) NÚMERO DO DOCUMENTO: WO 89/12386 A1

(I) DATA DE APRESENTAÇÃO: 21-JUN-1989

(J) DATA DE PUBLICAÇÃO: 28-DEZ-1989

(K) RESÍDUOS RELEVANTES EM SEQ ID NO: 5: DE 1 A  
4100

(x) INFORMAÇÃO DA PUBLICAÇÃO:

(H) NÚMERO DO DOCUMENTO: WO 94/04692 A1

(I) DATA DE APRESENTAÇÃO: 09-AGO-1993

(J) DATA DE PUBLICAÇÃO: 03-MAR-1994

(K) RESÍDUOS RELEVANTES EM SEQ ID NO: 5: DE 1 A  
1438

(x) INFORMAÇÃO DA PUBLICAÇÃO:

(H) NÚMERO DO DOCUMENTO: WO 94/14970 A1

(I) DATA DE APRESENTAÇÃO: 28-DEZ-1993

(J) DATA DE PUBLICAÇÃO: 07-JUL-1994

(xi) DESCRIÇÃO DA SEQUÊNCIA: SEQ ID NO: 5:

(i) CARACTERÍSTICAS DA SEQUÊNCIA:

- (A) COMPRIMENTO: 21 pares de bases
- (B) TIPO: ácido nucleico
- (C) CADEIA: dupla
- (D) TOPOLOGIA: linear

(ii) TIPO DE MOLÉCULA: ADNc

(iii) HIPOTÉTICA: NÃO

(iv) ANTI-SENTIDO: NÃO

(vi) FONTE ORIGINAL:

- (A) ORGANISMO: *Helianthus tuberosus*
- (B) ESTIRPE: Columbia
- (D) ESTÁDIO DE DESENVOLVIMENTO: Adulto
- (F) TIPO DE TECIDO: Tubérculo
- (G) TIPO CELULAR: parênquima de armazenamento

(vii) FONTE IMEDIATA:

- (A) BIBLIOTECA: lambda Uni-Zap XR (Stratagene, USA)
- (B) CLONE: pFFT111

(x) INFORMAÇÃO DA PUBLICAÇÃO:

- (H) NÚMERO DO DOCUMENTO: WO 89/12386 A1
- (I) DATA DE APRESENTAÇÃO: 21-JUN-1989
- (J) DATA DE PUBLICAÇÃO: 28-DEZ-1989
- (K) RESÍDUOS RELEVANTES EM SEQ ID NO: 6: DE 1 A

4100

(x) INFORMAÇÃO DA PUBLICAÇÃO:

(H) NÚMERO DO DOCUMENTO: WO 94/04692 A1

(I) DATA DE APRESENTAÇÃO: 09-AGO-1993

(J) DATA DE PUBLICAÇÃO: 03-MAR-1994

(K) RESÍDUOS RELEVANTES EM SEQ ID NO: 6: DE 1 A

1438

(x) INFORMAÇÃO DA PUBLICAÇÃO:

(H) NÚMERO DO DOCUMENTO: WO 94/14970 A1

(I) DATA DE APRESENTAÇÃO: 28-DEZ-1993

(J) DATA DE PUBLICAÇÃO: 07-JUL-1994

(xi) DESCRIÇÃO DA SEQUÊNCIA: SEQ ID NO: 6:

GGNTGGGCNA CNGTNTAYAA T

21

(2) INFORMAÇÃO PARA SEQ ID NO: 7:

(i) CARACTERÍSTICAS DA SEQUÊNCIA:

(A) COMPRIMENTO: 21 pares de bases

(B) TIPO: ácido nucleico

(C) CADEIA: dupla

(D) TOPOLOGIA: linear

(ii) TIPO DE MOLÉCULA: ADNC

(iii) HIPOTÉTICA: NÃO

(iv) ANTI-SENTIDO: NÃO

(vi) FONTE ORIGINAL:

- (A) ORGANISMO: *Helianthus tuberosus*
- (B) ESTIRPE: Columbia
- (D) ESTÁDIO DE DESENVOLVIMENTO: Adulto
- (F) TIPO DE TECIDO: Tubérculo
- (G) TIPO CELULAR: parênquima de armazenamento

(vii) FONTE IMEDIATA:

- (A) BIBLIOTECA: lambda Uni-Zap XR (Stratagene,  
USA)
- (B) CLONE: pFFT111

(x) INFORMAÇÃO DA PUBLICAÇÃO:

- (H) NÚMERO DO DOCUMENTO: WO 89/12386 A1
- (I) DATA DE APRESENTAÇÃO: 21-JUN-1989
- (J) DATA DE PUBLICAÇÃO: 28-DEZ-1989
- (K) RESÍDUOS RELEVANTES EM SEQ ID NO: 7: DE 1 A  
4100

(x) INFORMAÇÃO DA PUBLICAÇÃO:

- (H) NÚMERO DO DOCUMENTO: WO 94/04692 A1
- (I) DATA DE APRESENTAÇÃO: 09-AGO-1993
- (J) DATA DE PUBLICAÇÃO: 03-MAR-1994
- (K) RESÍDUOS RELEVANTES EM SEQ ID NO: 7: DE 1 A  
1438

(x) INFORMAÇÃO DA PUBLICAÇÃO:

- (H) NÚMERO DO DOCUMENTO: WO 94/14970 A1
- (I) DATA DE APRESENTAÇÃO: 28-DEZ-1993
- (J) DATA DE PUBLICAÇÃO: 07-JUL-1994

(xi) DESCRIÇÃO DA SEQUÊNCIA: SEQ ID NO: 7:

ATHGTNGARG GNTTYGCNCA R

21

(2) INFORMAÇÃO PARA SEQ ID NO: 8:

(i) CARACTERÍSTICAS DA SEQUÊNCIA:

- (A) COMPRIMENTO: 27 pares de bases
- (B) TIPO: ácido nucleico
- (C) CADEIA: dupla
- (D) TOPOLOGIA: linear

(ii) TIPO DE MOLÉCULA: ADNC

(iii) HIPOTÉTICA: NÃO

(iv) ANTI-SENTIDO: NÃO

(vi) FONTE ORIGINAL:

- (A) ORGANISMO: *Helianthus tuberosus*
- (B) ESTIRPE: Columbia
- (D) ESTÁDIO DE DESENVOLVIMENTO: Adulto
- (F) TIPO DE TECIDO: Tubérculo
- (G) TIPO CELULAR: parênquima de armazenamento

(vii) FONTE IMEDIATA:

(A) BIBLIOTECA: lambda Uni-Zap XR (Stratagene,  
USA)

(B) CLONE: pFFT111

(x) INFORMAÇÃO DA PUBLICAÇÃO:

(H) NÚMERO DO DOCUMENTO: WO 89/12386 A1

(I) DATA DE APRESENTAÇÃO: 21-JUN-1989

(J) DATA DE PUBLICAÇÃO: 28-DEZ-1989

(K) RESÍDUOS RELEVANTES EM SEQ ID NO: 8: DE 1 A  
4100

(x) INFORMAÇÃO DA PUBLICAÇÃO:

(H) NÚMERO DO DOCUMENTO: WO 94/04692 A1

(I) DATA DE APRESENTAÇÃO: 09-AGO-1993

(J) DATA DE PUBLICAÇÃO: 03-MAR-1994

(K) RESÍDUOS RELEVANTES EM SEQ ID NO: 8: DE 1 A  
1438

(x) INFORMAÇÃO DA PUBLICAÇÃO:

(H) NÚMERO DO DOCUMENTO: WO 94/14970 A1

(I) DATA DE APRESENTAÇÃO: 28-DEZ-1993

(J) DATA DE PUBLICAÇÃO: 07-JUL-1994

(xi) DESCRIÇÃO DA SEQUÊNCIA: SEQ ID NO: 8:

(2) INFORMAÇÃO PARA SEQ ID NO: 9:

(i) CARACTERÍSTICAS DA SEQUÊNCIA:

- (A) COMPRIMENTO: 16 aminoácidos
- (B) TIPO: aminoácido
- (C) CADEIA: dupla
- (D) TOPOLOGIA: linear

(ii) TIPO DE MOLÉCULA: ADNc

(iii) HIPOTÉTICA: NÃO

(iv) ANTI-SENTIDO: NÃO

(vi) FONTE ORIGINAL:

- (A) ORGANISMO: *Helianthus tuberosus*
- (B) ESTIRPE: Columbia
- (D) ESTÁDIO DE DESENVOLVIMENTO: Adulto
- (F) TIPO DE TECIDO: Tubérculo
- (G) TIPO CELULAR: parênquima de armazenamento

(vii) FONTE IMEDIATA:

- (A) BIBLIOTECA: lambda Uni-Zap XR (Stratagene,  
USA)
- (B) CLONE: pSST103

(x) INFORMAÇÃO DA PUBLICAÇÃO:

- (H) NÚMERO DO DOCUMENTO: WO 89/12386 A1
- (I) DATA DE APRESENTAÇÃO: 21-JUN-1989

(J) DATA DE PUBLICAÇÃO: 28-DEZ-1989

(K) RESÍDUOS RELEVANTES EM SEQ ID NO: 9: DE 1 A  
4100

(x) INFORMAÇÃO DA PUBLICAÇÃO:

(H) NÚMERO DO DOCUMENTO: WO 94/04692 A1

(I) DATA DE APRESENTAÇÃO: 09-AGO-1993

(J) DATA DE PUBLICAÇÃO: 03-MAR-1994

(K) RESÍDUOS RELEVANTES EM SEQ ID NO: 9: DE 1 A  
1438

(x) INFORMAÇÃO DA PUBLICAÇÃO:

(H) NÚMERO DO DOCUMENTO: WO 94/14970 A1

(I) DATA DE APRESENTAÇÃO: 28-DEZ-1993

(J) DATA DE PUBLICAÇÃO: 07-JUL-1994

(xi) DESCRIÇÃO DA SEQUÊNCIA: SEQ ID NO: 9:

Ala Asp Val Leu Phe Xaa Xaa Thr Thr Ser Glu Gly Ser Val Ala Arg  
1 5 10 15

(2) INFORMAÇÃO PARA SEQ ID NO: 10:

(i) CARACTERÍSTICAS DA SEQUÊNCIA:

- (A) COMPRIMENTO: 11 aminoácidos
- (B) TIPO: aminoácido
- (C) CADEIA: dupla
- (D) TOPOLOGIA: linear

(ii) TIPO DE MOLÉCULA: ADNC

(iii) HIPOTÉTICA: NÃO

(iv) ANTI-SENTIDO: NÃO

(vi) FONTE ORIGINAL:

- (A) ORGANISMO: *Helianthus tuberosus*
- (B) ESTIRPE: Columbia
- (D) ESTÁDIO DE DESENVOLVIMENTO: Adulto
- (F) TIPO DE TECIDO: Tubérculo
- (G) TIPO CELULAR: parênquima de armazenamento

(vii) FONTE IMEDIATA:

- (A) BIBLIOTECA: lambda Uni-Zap XR (Stratagene,  
USA)
- (B) CLONE: pSST103

(x) INFORMAÇÃO DA PUBLICAÇÃO:

- (H) NÚMERO DO DOCUMENTO: WO 89/12386 A1
- (I) DATA DE APRESENTAÇÃO: 21-JUN-1989
- (J) DATA DE PUBLICAÇÃO: 28-DEZ-1989
- (K) RESÍDUOS RELEVANTES EM SEQ ID NO: 10: DE 1 A  
4100

(x) INFORMAÇÃO DA PUBLICAÇÃO:

- (H) NÚMERO DO DOCUMENTO: WO 94/04692 A1
- (I) DATA DE APRESENTAÇÃO: 09-AGO-1993
- (J) DATA DE PUBLICAÇÃO: 03-MAR-1994

(K) RESÍDUOS RELEVANTES EM SEQ ID NO: 10: DE 1 A  
1438

(x) INFORMAÇÃO DA PUBLICAÇÃO:

(H) NÚMERO DO DOCUMENTO: WO 94/14970 A1

(I) DATA DE APRESENTAÇÃO: 28-DEZ-1993

(J) DATA DE PUBLICAÇÃO: 07-JUL-1994

(xi) DESCRIÇÃO DA SEQUÊNCIA: SEQ ID NO: 10:

Glu Gln Leu Pro Val Tyr Phe Tyr Ile Ala Lys  
1                   5                           10

(2) INFORMAÇÃO PARA SEQ ID NO: 11:

(i) CARACTERÍSTICAS DA SEQUÊNCIA:

(A) COMPRIMENTO: 8 aminoácidos

(B) TIPO: aminoácido

(C) CADEIA: dupla

(D) TOPOLOGIA: linear

(ii) TIPO DE MOLÉCULA: ADNC

(iii) HIPOTÉTICA: NÃO

(iv) ANTI-SENTIDO: NÃO

(vi) FONTE ORIGINAL:

(A) ORGANISMO: *Helianthus tuberosus*

- (B) ESTIRPE: Columbia
- (D), ESTÁDIO DE DESENVOLVIMENTO: Adulto
- (F) TIPO DE TECIDO: Tubérculo
- (G) TIPO CELULAR: parênquima de armazenamento

(vii) FONTE IMEDIATA:

- (A) BIBLIOTECA: lambda Uni-Zap XR (Stratagene,  
USA)
- (B) CLONE: pFFT111

(x) INFORMAÇÃO DA PUBLICAÇÃO:

- (H) NÚMERO DO DOCUMENTO: WO 89/12386 A1
- (I) DATA DE APRESENTAÇÃO: 21-JUN-1989
- (J) DATA DE PUBLICAÇÃO: 28-DEZ-1989
- (K) RESÍDUOS RELEVANTES EM SEQ ID NO: 11: DE 1 A  
4100

(x) INFORMAÇÃO DA PUBLICAÇÃO:

- (H) NÚMERO DO DOCUMENTO: WO 94/04692 A1
- (I) DATA DE APRESENTAÇÃO: 09-AGO-1993
- (J) DATA DE PUBLICAÇÃO: 03-MAR-1994
- (K) RESÍDUOS RELEVANTES EM SEQ ID NO: 11: DE 1 A  
1438

(x) INFORMAÇÃO DA PUBLICAÇÃO:

- (H) NÚMERO DO DOCUMENTO: WO 94/14970 A1
- (I) DATA DE APRESENTAÇÃO: 28-DEZ-1993
- (J) DATA DE PUBLICAÇÃO: 07-JUL-1994

(xi) DESCRIÇÃO DA SEQUÊNCIA: SEQ ID NO: 11:

Val Val Leu Asp Leu Glu Thr Lys  
I S

(2) INFORMAÇÃO PARA SEQ ID NO: 12:

(i) CARACTERÍSTICAS DA SEQUÊNCIA:

- (A) COMPRIMENTO: 15 aminoácidos
- (B) TIPO: aminoácido
- (C) CADEIA: dupla
- (D) TOPOLOGIA: linear

(ii) TIPO DE MOLÉCULA: ADNC

(iii) HIPOTÉTICA: NÃO

(iv) ANTI-SENTIDO: NÃO

(vi) FONTE ORIGINAL:

- (A) ORGANISMO: *Helianthus tuberosus*
- (B) ESTIRPE: Columbia
- (D) ESTÁDIO DE DESENVOLVIMENTO: Adulto
- (F) TIPO DE TECIDO: Tubérculo
- (G) TIPO CELULAR: parênquima de armazenamento

(vii) FONTE IMEDIATA:

- (A) BIBLIOTECA: lambda Uni-Zap XR (Stratagene,  
USA)

(B) CLONE: pSST103

(x) INFORMAÇÃO DA PUBLICAÇÃO:

(H) NÚMERO DO DOCUMENTO: WO 89/12386 A1

(I) DATA DE APRESENTAÇÃO: 21-JUN-1989

(J) DATA DE PUBLICAÇÃO: 28-DEZ-1989

(K) RESÍDUOS RELEVANTES EM SEQ ID NO: 12: DE 1 A  
4100

(x) INFORMAÇÃO DA PUBLICAÇÃO:

(H) NÚMERO DO DOCUMENTO: WO 94/04692 A1

(I) DATA DE APRESENTAÇÃO: 09-AGO-1993

(J) DATA DE PUBLICAÇÃO: 03-MAR-1994

(K) RESÍDUOS RELEVANTES EM SEQ ID NO: 12: DE 1 A  
1438

(x) INFORMAÇÃO DA PUBLICAÇÃO:

(H) NÚMERO DO DOCUMENTO: WO 94/14970 A1

(I) DATA DE APRESENTAÇÃO: 28-DEZ-1993

(J) DATA DE PUBLICAÇÃO: 07-JUL-1994

(xi) DESCRIÇÃO DA SEQUÊNCIA: SEQ ID NO: 12:

Phe Arg Asp Pro Ser Thr Leu Trp Leu Xaa Pro Asp Gly Glu Tyr  
 1 5 10 15

(2) INFORMAÇÃO PARA SEQ ID NO: 13:

(i) CARACTERÍSTICAS DA SEQUÊNCIA:

- (A) COMPRIMENTO: 6 aminoácidos
- (B) TIPO: aminoácido
- (C) CADEIA: dupla
- (D) TOPOLOGIA: linear

(ii) TIPO DE MOLÉCULA: ADNC

(iii) HIPOTÉTICA: NÃO

(iv) ANTI-SENTIDO: NÃO

(vi) FONTE ORIGINAL:

- (A) ORGANISMO: *Helianthus tuberosus*
- (B) ESTIRPE: Columbia
- (D) ESTÁDIO DE DESENVOLVIMENTO: Adulto
- (F) TIPO DE TECIDO: Tubérculo
- (G) TIPO CELULAR: parênquima de armazenamento

(vii) FONTE IMEDIATA:

- (A) BIBLIOTECA: lambda Uni-Zap XR (Stratagene,  
USA)
- (B) CLONE: pSST103

(x) INFORMAÇÃO DA PUBLICAÇÃO:

- (H) NÚMERO DO DOCUMENTO: WO 89/12386 A1
- (I) DATA DE APRESENTAÇÃO: 21-JUN-1989
- (J) DATA DE PUBLICAÇÃO: 28-DEZ-1989
- (K) RESÍDUOS RELEVANTES EM SEQ ID NO: 13: DE 1 A  
4100

(x) INFORMAÇÃO DA PUBLICAÇÃO:

- (H) NÚMERO DO DOCUMENTO: WO 94/04692 A1  
(I) DATA DE APRESENTAÇÃO: 09-AGO-1993  
(J) DATA DE PUBLICAÇÃO: 03-MAR-1994  
(K) RESÍDUOS RELEVANTES EM SEQ ID NO: 13: DE 1 A  
1438

(x) INFORMAÇÃO DA PUBLICAÇÃO:

- (H) NÚMERO DO DOCUMENTO: WO 94/14970 A1  
(I) DATA DE APRESENTAÇÃO: 28-DEZ-1993  
(J) DATA DE PUBLICAÇÃO: 07-JUL-1994

(xi) DESCRIÇÃO DA SEQUÊNCIA: SEQ ID NO: 13:

Gly Trp Ala Asn Ile Leu  
1                   5

(2) INFORMAÇÃO PARA SEQ ID NO: 14:

(i) CARACTERÍSTICAS DA SEQUÊNCIA:

- (A) COMPRIMENTO: 10 aminoácidos  
(B) TIPO: aminoácido  
(C) CADEIA: dupla  
(D) TOPOLOGIA: linear

(ii) TIPO DE MOLÉCULA: ADNc

(iii) HIPOTÉTICA: NÃO

(iv) ANTI-SENTIDO: NÃO

(vi) FONTE ORIGINAL:

- (A) ORGANISMO: *Helianthus tuberosus*
- (B) ESTIRPE: Columbia
- (D) ESTÁDIO DE DESENVOLVIMENTO: Adulto
- (F) TIPO DE TECIDO: Tubérculo
- (G) TIPO CELULAR: parênquima de armazenamento

(vii) FONTE IMEDIATA:

- (A) BIBLIOTECA: lambda Uni-Zap XR (Stratagene,  
USA)
- (B) CLONE: pFFT111

(x) INFORMAÇÃO DA PUBLICAÇÃO:

- (H) NÚMERO DO DOCUMENTO: WO 89/12386 A1
- (I) DATA DE APRESENTAÇÃO: 21-JUN-1989
- (J) DATA DE PUBLICAÇÃO: 28-DEZ-1989
- (K) RESÍDUOS RELEVANTES EM SEQ ID NO: 14: DE 1 A  
4100

(x) INFORMAÇÃO DA PUBLICAÇÃO:

- (H) NÚMERO DO DOCUMENTO: WO 94/04692 A1
- (I) DATA DE APRESENTAÇÃO: 09-AGO-1993
- (J) DATA DE PUBLICAÇÃO: 03-MAR-1994
- (K) RESÍDUOS RELEVANTES EM SEQ ID NO: 14: DE 1 A  
1438

(x) INFORMAÇÃO DA PUBLICAÇÃO:

(H) NÚMERO DO DOCUMENTO: WO 94/14970 A1

(I) DATA DE APRESENTAÇÃO: 28-DEZ-1993

(J) DATA DE PUBLICAÇÃO: 07-JUL-1994

(xi) DESCRIÇÃO DA SEQUÊNCIA: SEQ ID NO: 14:

Gly Trp Ala Thr Val Tyr Asn Val Gly Arg  
1 2 3 4 5 6 7 8 9 10

(2) INFORMAÇÃO PARA SEQ ID NO: 15:

(i) CARACTERÍSTICAS DA SEQUÊNCIA:

- (A) COMPRIMENTO: 16 aminoácidos
- (B) TIPO: aminoácido
- (C) CADEIA: dupla
- (D) TOPOLOGIA: linear

(ii) TIPO DE MOLÉCULA: ADNC

(iii) HIPOTÉTICA: NÃO

(iv) ANTI-SENTIDO: NÃO

(vi) FONTE ORIGINAL:

- (A) ORGANISMO: *Helianthus tuberosus*
- (B) ESTIRPE: Columbia
- (D) ESTÁDIO DE DESENVOLVIMENTO: Adulto
- (F) TIPO DE TECIDO: Tubérculo

(G) TIPO CELULAR: parênquima de armazenamento

(vii) FONTE IMEDIATA:

(A) BIBLIOTECA: lambda Uni-Zap XR (Stratagene,  
USA)

(B) CLONE: pFFT111

(x) INFORMAÇÃO DA PUBLICAÇÃO:

(H) NÚMERO DO DOCUMENTO: WO 89/12386 A1

(I) DATA DE APRESENTAÇÃO: 21-JUN-1989

(J) DATA DE PUBLICAÇÃO: 28-DEZ-1989

(K) RESÍDUOS RELEVANTES EM SEQ ID NO: 15: DE 1 A  
4100

(x) INFORMAÇÃO DA PUBLICAÇÃO:

(H) NÚMERO DO DOCUMENTO: WO 94/04692 A1

(I) DATA DE APRESENTAÇÃO: 09-AGO-1993

(J) DATA DE PUBLICAÇÃO: 03-MAR-1994

(K) RESÍDUOS RELEVANTES EM SEQ ID NO: 15: DE 1 A  
1438

(x) INFORMAÇÃO DA PUBLICAÇÃO:

(H) NÚMERO DO DOCUMENTO: WO 94/14970 A1

(I) DATA DE APRESENTAÇÃO: 28-DEZ-1993

(J) DATA DE PUBLICAÇÃO: 07-JUL-1994

(xi) DESCRIÇÃO DA SEQUÊNCIA: SEQ ID NO: 15:

Leu Leu Val Asp His Ser Ile Val Glu Gly Phe Ala Gln Gly Gly Arg  
1               5                           10                           15

(2) INFORMAÇÃO PARA SEQ ID NO: 16:

(i) CARACTERÍSTICAS DA SEQUÊNCIA:

- (A) COMPRIMENTO: 6 aminoácidos
- (B) TIPO: aminoácido
- (C) CADEIA: dupla
- (D) TOPOLOGIA: linear

(ii) TIPO DE MOLÉCULA: ADNc

(iii) HIPOTÉTICA: NÃO

(iv) ANTI-SENTIDO: NÃO

(vi) FONTE ORIGINAL:

- (A) ORGANISMO: *Helianthus tuberosus*
- (B) ESTIRPE: Columbia
- (D) ESTÁDIO DE DESENVOLVIMENTO: Adulto
- (F) TIPO DE TECIDO: Tubérculo
- (G) TIPO CELULAR: parênquima de armazenamento

(vii) FONTE IMEDIATA:

- (A) BIBLIOTECA: lambda Uni-Zap XR (Stratagene,  
USA)
- (B) CLONE: pFFT111

(x) INFORMAÇÃO DA PUBLICAÇÃO:

(H) NÚMERO DO DOCUMENTO: WO 89/12386 A1

(I) DATA DE APRESENTAÇÃO: 21-JUN-1989

(J) DATA DE PUBLICAÇÃO: 28-DEZ-1989

(K) RESÍDUOS RELEVANTES EM SEQ ID NO: 16: DE 1 A  
4100

(x) INFORMAÇÃO DA PUBLICAÇÃO:

(H) NÚMERO DO DOCUMENTO: WO 94/04692 A1

(I) DATA DE APRESENTAÇÃO: 09-AGO-1993

(J) DATA DE PUBLICAÇÃO: 03-MAR-1994

(K) RESÍDUOS RELEVANTES EM SEQ ID NO: 16: DE 1 A  
1438

(x) INFORMAÇÃO DA PUBLICAÇÃO:

(H) NÚMERO DO DOCUMENTO: WO 94/14970 A1

(I) DATA DE APRESENTAÇÃO: 28-DEZ-1993

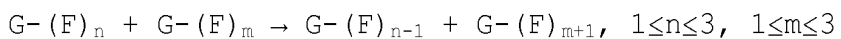
(J) DATA DE PUBLICAÇÃO: 07-JUL-1994

(xi) DESCRIÇÃO DA SEQUÊNCIA: SEQ ID NO: 16:

Val Gly Glu Ser Asp Ser  
1                           5

**REIVINDICAÇÕES**

1. Fragmento de ADN possuindo uma sequência nucleotídica SEQ ID NO: 1 tal como mostrada na Fig. 4A ou uma sequência homóloga possuindo uma identidade de pelo menos 70% codificando uma proteína possuindo actividade de 1-sacarose:sacarose-frutosiltransferase, que catalisa a reacção geral:

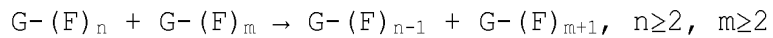


em que  $-G$  representa uma unidade glicosil e  $-F$  representa uma unidade frutosil.

2. Fragmento de ADN de acordo com a reivindicação 1 possuindo uma identidade de pelo menos 85%.

3. Sequência de ADN recombinante compreendendo um ou mais fragmentos de ADN tal como definidos na reivindicação 1 ou 2.

4. Sequência de ADN recombinante de acordo com a reivindicação 3, compreendendo ainda um fragmento de ADN possuindo uma sequência nucleotídica SEQ ID NO: 2 tal como mostrada na Fig. 4B ou uma sequência homóloga possuindo uma identidade de pelo menos 70% codificando uma proteína possuindo actividade de 1-frutano:frutano-frutosiltransferase, que catalisa a reacção geral:



em que  $-G$  e  $-F$  são tal como definidos na reivindicação 1.

5. Sequência de ADN recombinante de acordo com a reivindicação 3 ou 4, em que o referido fragmento ou fragmentos estão presentes na orientação inversa.

6. Método para a produção de uma planta geneticamente transformada apresentando um perfil de frutanos modificado, que compreende os passos de:

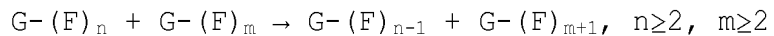
i) preparação de uma construção génica quimérica compreendendo um ou mais fragmentos de ADN tal como definidos nas reivindicações 1 ou 2, ou os referidos fragmentos na orientação inversa, operativamente ligados a uma sequência promotora activa na referida planta e uma sequência terminadora activa na referida planta,

ii) introdução da construção génica quimérica no genoma da planta, e

iii) regeneração das células vegetais transformadas em plantas transgénicas.

7. Método de acordo com a reivindicação 6, em que a construção génica quimérica preparada no passo i) compreende ainda um fragmento de ADN possuindo uma sequência nucleotídica SEQ ID NO: 2 tal como mostrada na Fig. 4B ou uma sequência homóloga possuindo uma identidade de pelo menos 70% codificando uma proteína possuindo

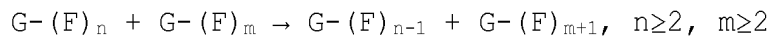
actividade de 1-frutano:frutano-frutosiltransferase, que catalisa a reacção geral:



em que  $-G$  e  $-F$  são tal como definidos na reivindicação 1.

8. Planta transformada mostrando uma perfil de frutanos modificado ou uma célula vegetal, semente, fruto, plântula ou qualquer parte da planta transformada, anco-rando uma construção génica quimérica compreendendo um ou mais fragmentos de ADN tal como definidos nas reivin-dicações 1 ou 2, ou os referidos fragmentos de ADN na orientação inversa operativamente ligados a uma sequência promotora activa na referida planta e uma sequência terminadora activa na referida planta.

9. Planta transformada de acordo com a reivin-dicação 8 em que a construção génica quimérica compreende ainda um fragmento de ADN possuindo uma sequência nucleotídica SEQ ID NO: 2 tal como mostrada na Fig. 4B ou uma sequência homóloga possuindo uma identidade de pelo menos 70% codificando uma proteína possuindo actividade de 1-frutano:frutano-frutosiltransferase, que catalisa a reacção geral:



em que  $-G$  e  $-F$  são tal como definidos na reivindicação 1.

PE795018

1/12

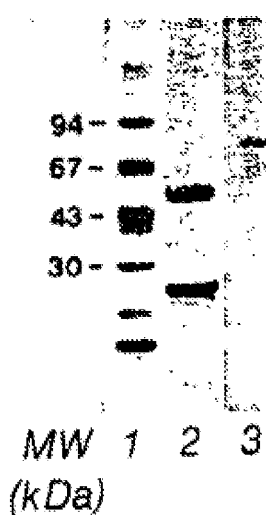


Fig. 1.

PE795018

2/12

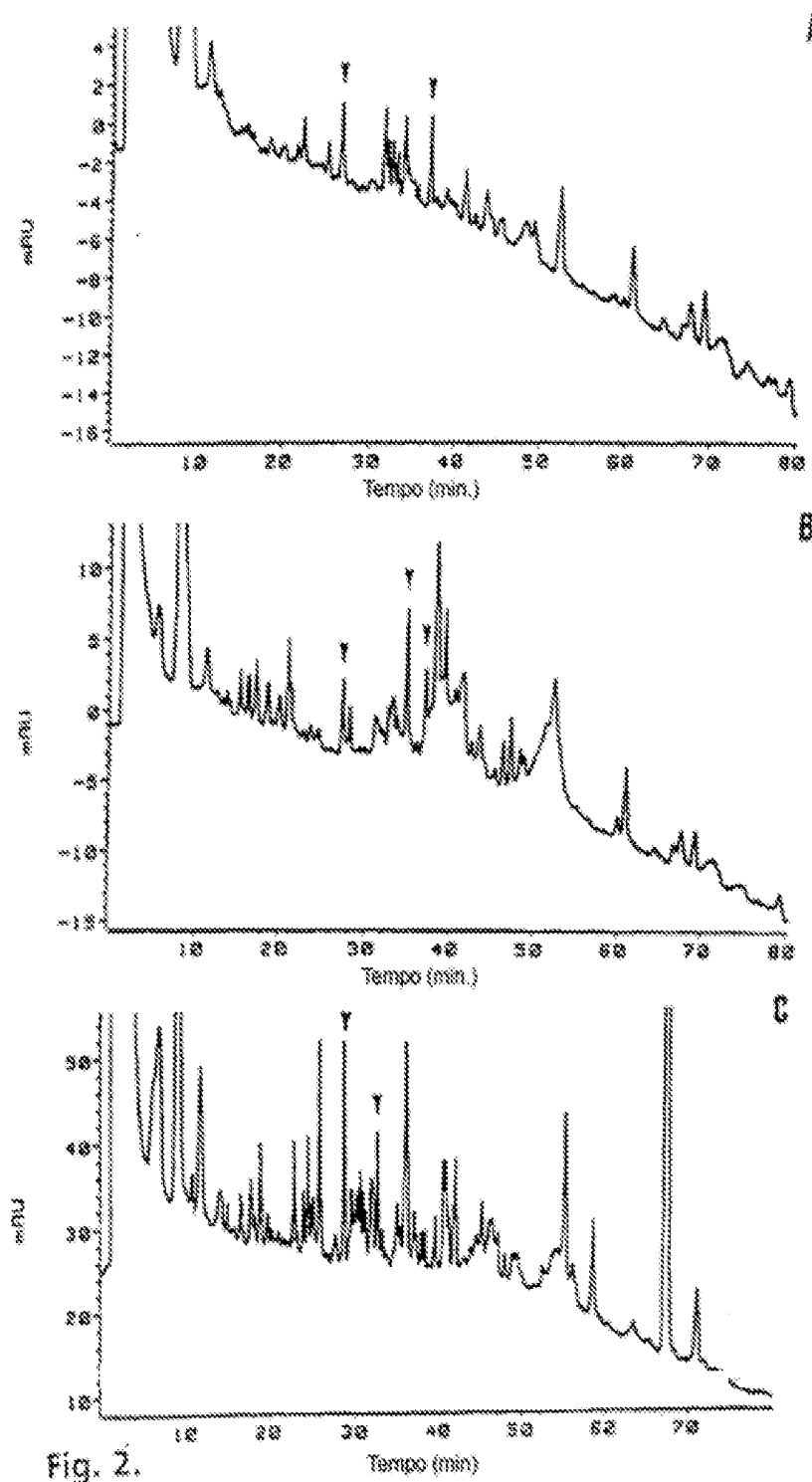


Fig. 2.

PE795018

3/12

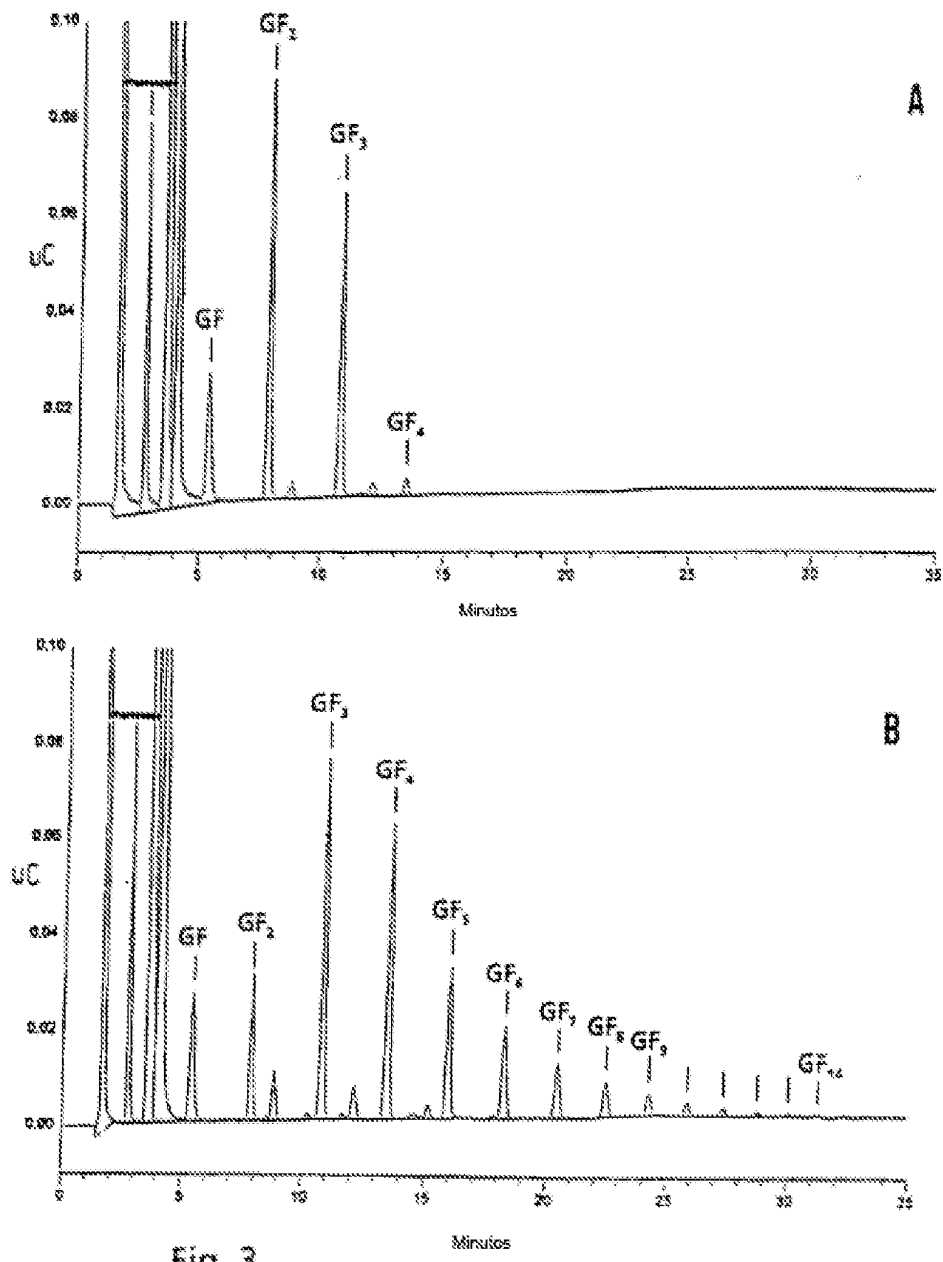


Fig. 3.

A SEQ ID. NO. 1.

FIG. 4

GGCAGCGAGAARACCTCCCTCACGGEACCACATCATGGCTTCATCCACCAACCCACC 60  
M M A S S T T T T  
CCTCTCATTCCTCATSATGACCTGAAAACCTCCAGAACTCACCGGTTCTCCGACAAC 120  
P L I L H D D P E N L P E L T G S P T T  
CGTCTCTATCCATGGCAAAACTGCCTTCGGGATCCTGTTCTGGTTCTGGTTATAGGT 180  
R R L S I A K V L S G I L V S V L V I G  
GCTCTTGCTTAAATCAACRAACRAACATATGAACTCCCCCTCGGCCACACATTGTA 240  
R L V A L I N N Q T Y E S P S A T T P V  
ACTCACTTGCDAATATTGATCTGAAGCGGGTCCACGGAAGCTGGATTCACGCTCGAC 300  
S Q L P N I D L K R V P O K L D S S A E  
CTTGAATGCCAAGCGATCCACCTATCATTTCAACCGGACAAARATTCATAGCGATCC 360  
V E W Q R S T Y H F Q P D K N F I S D P  
CATGGCCCAATGTCATGCGGATGGTATCATCATTTATCATACACACCTCAATCT 420  
D G P W Y H N G W Y H L F Y Q Y N P Q S  
CCCATCTGGGCCAACATCACATGGGGCAACTCGGTATCGAAAGACATGATCAACTGGTTC 480  
A I W G H I T W G H S V S K D M I N W F  
CATCTCCCTTGGCATGGTCTGACATTGGTACCGACATCGAAGGTGTCATGACGGGT 540  
H L P F A H V P D H W Y D I S C V X T G  
TCGGCTACAGTCCTCCCTAATGGTCATACTCATGCTTACTCGGGCAACGGCTATGAT 600  
S A T V L P N G Q I I N L Y S G N A Y D  
CTCTCCCAGTACATGCTGGCTGACCTGTCAACTCGCGATCCACTCTTATAGAG 660  
I S Q V Q C L A Y A V N S S D P L L I E  
TGGAAAAATATGAAAGGTAAACCTGCTTACTCCCACCAACGGACTAGCTACAGGAC 720  
W X X Y E G N P V L L P P P G V G Y X D  
TTTCCGGCACCCNFTCCACATTGCTGGGCCCCCTGATGGTCAATATAGATGGTATGGG 780  
E R D P S T L W S G P D G E X R M V M G  
TCCAAAGCACRACGAGACTTAIGGCTGCTTIGATTACCATACCTAACTTACGGCT 840  
S K H N E T I G C A L I Y E T T M F T H  
TTTGAATTGAAAGGGAGCTGGCTTCATGCAGTCGGCAACTGCTGATGGCT 900  
P E L K E E V L H A V P H T G M W D C V  
GATCTTTACCCGGTCTCCACCGTACACACACACGGCTGGACATGGCTGATACGGCCA 960  
D L Y P V S T V H T N G L D M V D N G P  
ALTGTTRAGTACGCTGTAACAGTGGGATGAGATGGCTGATGGTATGGTATT 1020  
N V K Y V L K Q S G D E D R H D W Y A I  
GGAAAGTACGATAATSTGANTGTAATGCTGCTTCCAGATGACCCGGAAAATGATGGCT 1080  
G S Y D I V N D K W Y P D D P E N D V G  
CGGGATTAAAGATATGATTTGGAAATTTTATGCCTCCAGACCTTTCAGGCGACAT 1140  
I G L R Y D P G K F Y A S K T F Y D Q H  
ACAGACGGAGACTCTTGGGCTATGTTGGAGAGAACCGTCCAAAGATGACCTT 1200  
K K R R V L W G Y V G E T D P Q K Y D L  
GAAAGGGATGGGCTAACATTGATATTCCAAGGAGCGCTGCTGGACGCTGGCAAAC 1260  
S K G M A N I L N I P B F V V A D L S T

FIG. 4

AAAACCAATTGATTCATGGCAAATCGAGGAACCGAAACCTTACGCGAAAAGTAT 1320  
K T N L I Q W P I E E T E N L R S X K Y  
 GATGAAATTAAACACGTGGAGCTCGACCCGGGGCACTCGTTCCCTTGAGATAAGGCACA 1380  
D E F K D V F L R P G A L V P L E I G T  
 CCCACACAGTTCGATATCTTCGACATTCGAAATCGACCAAAAGATGTTGGAAATCAGC 1440  
 A T Q L D I V A T F S I D Q K M L E S T  
 CTAGAGGCCATGTTCTATTCAATTGCGGACTAGTGAAAGCTCCGTCGAAAGGACTGTG 1500  
L E A D V L F N C T T S E C S V A R S V  
 TTGGGACCGTTGGTGTGGCTCTAGCCGATCCCCAGGGCTCCGAACAACCTCTGTA 1560  
L G P F G V V V L A D R Q R S E O L P V  
 TACTTCTATATCGCRAAAGATATTGATGGAACCTCACGAACTTATTTGTGCCGACGAA 1620  
X F Y I A X D I D G T S R T Y F C A D E  
 ACAAGATCATCCAGGATCTAACCGGAAATGGGTGTACGGAAAGCAGTCTTCCTGTC 1680  
T R S S X D V S V G X W V Y G S S V P V  
 CTCCCGGGCGAAAGTACAAATATGAGCTTATGGTGGATCATTCGAACTAGAGGGATT 1740  
L P G E K Y N M R L L V D H S I V E G F  
 CCACAAACCGGAGAACCGTGSTGACATCAGACTGTATCCAACAAAGGGATCTACAAC 1800  
 A Q X G R T V V T S R V Y P T K A I Y N  
 GCTGCCAAGGTGTTTTCTTCARCAACGGCACTGGAATCAGTGTGAAGGGCTCGATCAAG 1860  
 A A K V F L P N N A T C I S V X A S I K  
 ATCTGGAAAGATGGGGGAAACGAGAACTCAATCCTTCCCTCTTCCGGACTTTCAA 1920  
 I N K M G E A S L N P F P L P Q W T F E  
 CTGGATGGTTATTTGGACCCATAATACTGTTATTATCATGAGGTTATTTGG 1980  
L  
 ACCCTATAATGCGTTATATCATGAGGATAGTTGGACTGGAGGGGOTATTTGTA 2040  
 ATTTATATGGATGGTCTATTACTGTTGGCTATACTATCTAATTAAATTATATAAC 2100  
 TATATCAATTCTAAT 2116

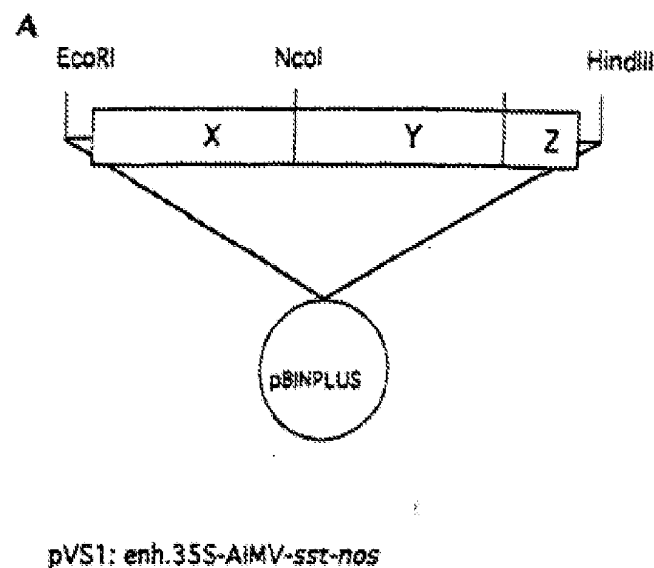
## B. SEQ ID. NO. 2.

FIG. 4

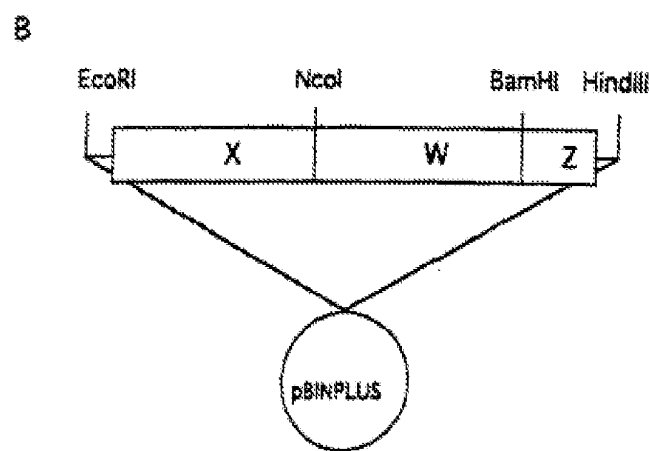
GGCACCGAGTACCAAGTCAGTCAGTCACCATGCCAARCCCTGAAACCCTTTACAGACCTTGA 60  
 M Q T P E P F T D L S  
 ACATGAAACCCACACACCCCTACTGGACCACCCACAACCCACCAACAAACCCAC 120  
 H E P H T P L L D H H H K P P P Q T T T  
 AAAACCTTTGTCACCAAGGGTTGTGTCGGTGTACCTTTGTTATTCTCTTGGTTT 180  
 K P L F T R V V S G V T F V L F F F G P  
 CCCTATCGTATTCTATTCTCAACCAACAGAATTCTCTCTGCTATCGTACCCATTG 240  
 A I V F I V L N Q Q N S S V R I V T N S  
 CGAGAAATCTTTATAAACCTATTCCAGACCCATCGCTTGTGCGAACCCACCOCTT 300  
 E K S F I R Y S Q T D R L S W E R T A P  
 TCATTTTCAGGCTGCCAAGAAATTATTAACGATCCAGATGGTCAGTGTTCACATGGG 360  
 H F Q P A K N F I Y D P D G Q L F H M G  
 CTGGTACCCATACTTCTATCAACCAACCCATACCGACCCGGTTGGGGCAATAATGTCATG 420  
 W Y H H F Y Q Y N P Y A P V W G N M S W  
 CGCTCACTCACTCTCCAAAGACATGATCAACTGGTACGACCTGCCAGTCGCTATGGTCCC 480  
 C H S V S K D H I N W Y E L P V A M V P  
 GACCCGAATGGTATGATATCGAGGGCGCTTATCCGGTCTACCRCCGCTTCCAAACCG 540  
 T E W Y D I E G V L S G S T T V L P N G  
 TGAGATCTTCACTGATACGGAAACGCTAATGATTTTCCCAATTACAAATGCAAAAC 600  
 Q I F A L Y T G N A N D F S Q L Q C K A  
 TGACCCGTAACCTTATCTGACCCGCTTCTATTGAGTGGCTAACGATATGAGGATAACCC 660  
 V P V N L S D P L L I E W V K Y E D N P  
 ATCCCTGTACCTCCACCCACGGATTGGTTAAAGGACTATCGGACCCGCTCAACAGTCTG 720  
 I L Y T P P G I C L K D Y R D P S T V W  
 GACAGGTCCCCGATGCAAAGCATAAGGATGATCATGGAAACTAACGTTGGCAATACAGGCAT 780  
 T G P D G K H R M I M G T K R G N T G M  
 GCTACTTGTCTACTATACCACTGATACGAACTACCGACTTGTGGATGACCCGGTGGCA 840  
 V L V Y Y T T D Y T N Y E L L D E P L H  
 CTCTGTTCCAAACACCGATAATGCGGATGCGACTTTACCCGGTTCTGTTAACCAA 900  
 S V P N T D H W E C V D F Y P V S L T N  
 TGATAGTGCACCTGATATGGGGCCCTATGGGTGGCTATGAAACACGGTATTAAAGGAAAC 960  
 D S A L D M A A Y G S G I X H V I K E S  
 TTGGGGRGGGRGATGGGATGGGATTGGTATTGAAATGGGACATATGACGGGATAATTGATAA 1020  
 W E G H G M D W Y S I G T Y D A I N D K  
 ATGGAACTCCCCATAACCCGGAACTGAGATGCGGTATGGGTTACCGCTGCGATTACGGGAG 1080  
 W T P S N P E L D V C I G L R C D Y C R

FIG.4

CTTTTTGCATCAAAGACTCTTATGACCCATTGAAAGAAACGACCATCACTTGCGGTTA 1140  
 F P A S K S L Y D P L K K R R I T W G Y  
 TCTTCGAGAATCAGATACTGCTGATCAGGACCTCTCTAGAGGATGCCCTACTGTTATAA 1200  
 V C E S D S A D Q D L S R S E W A T V Y N  
 TCTTGGAAAGAACAAATTCTACTACATAACAAAAGCACCGGACCCATTACTTCATTGGCCCGT 1260  
 V C R T I V L D R K T G T H L L H W P V  
 TGAGGAAGTCGAGAGCTTGAGATACAAACGGTCAGGAGTTAAAGAGATCAAGCTACAGCC 1320  
 E E V S S L S Y N G Q E F K E I K L E P  
 CCCTTCATCATTCGACTCCGACATAGCCACCGCTACACCTTGGACATAGCTGGCACATT 1380  
 G S I I P L D I G T A T Q L D I V A T F  
 TCAGCGTCATCAAGCAGCCCTGAAACUCGACAACTGAAACCGATGATATTATGTTGGCAC 1440  
 E V D Q A A L N A T S E T D O I Y G C T  
 CACTACCTTAGGTGCAGCCCCAAAGGGGAAGTTGGGACCAATTGGCTTGGCGTTCTAGC 1500  
 T S L G A A Q R C S L G P F G L A V L A  
 CGATGGAAACCCCTTCTGAGTTAACTCCGCTTATTCTATATAGCTAAACGCCAGATCG 1560  
 D G T L S E L T P V Y F Y I A K K A D G  
 AGCTGTGTCGACACATTTTGACCGATAAGCTAAGGTCACTAGATTATGATGGGGA 1620  
 G V S T H F C T D X L R S S L D Y D G E  
 GAGAGTGGTGTATGGGGCACTGTTCTGTTAGATGATCAAGAACTCACPAATGAGGCT 1680  
 R V V Y C G T V P V L D D E E L T H R L  
 ATGGTGGATCATTCGATAGTGGAGGGGTTGGCGCAAGGAGGAAGGACGGTTAACATC 1740  
 L V D H S I V E C F A Q G G R T V I T S  
 AAGGGCGTATCCARCAAAGCGATATACGAACAGCGAASCTGTTCTGTTCAACAAACGC 1800  
 R A Y P T K A I Y E Q A K L F L F N N A  
 CACACGGTACCGACTGTGAAAGCGATCTCTCAAGAGTTGGCAATGGCTTCTGCACCCATTCA 1860  
 T G T S V K A S L K I W Q M A S A P I H  
 TCATTAACCTTTTTAATTACCGCTATCGCTATCCCTTTGTTATTGGTATTTATGTC 1920  
 Q Y P F  
 TTAACTTTCTTTAAACCTTTTATTGATAAATATTAGTTCTGTTATTGTGCTTCTAG 1980  
 TAATAAATGAACTGGCTTATGGC



pVS1: enh.35S-AIMV-sst-nos



pVF1: enh.35S-AIMV-fft-nos

Fig. 5

PE795018

9/12

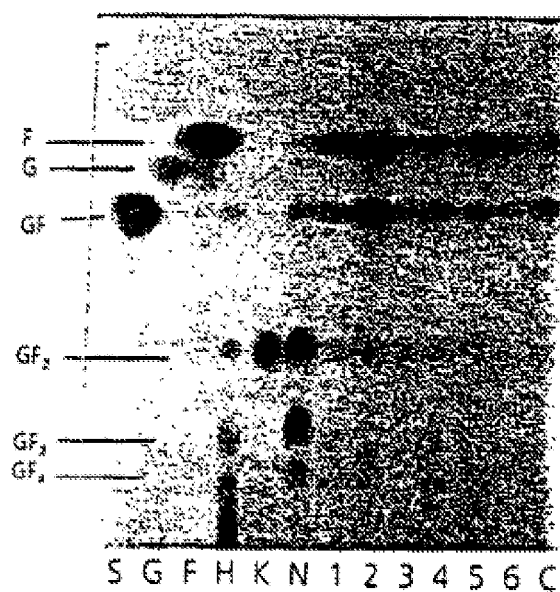


Fig. 6

Fig. 7

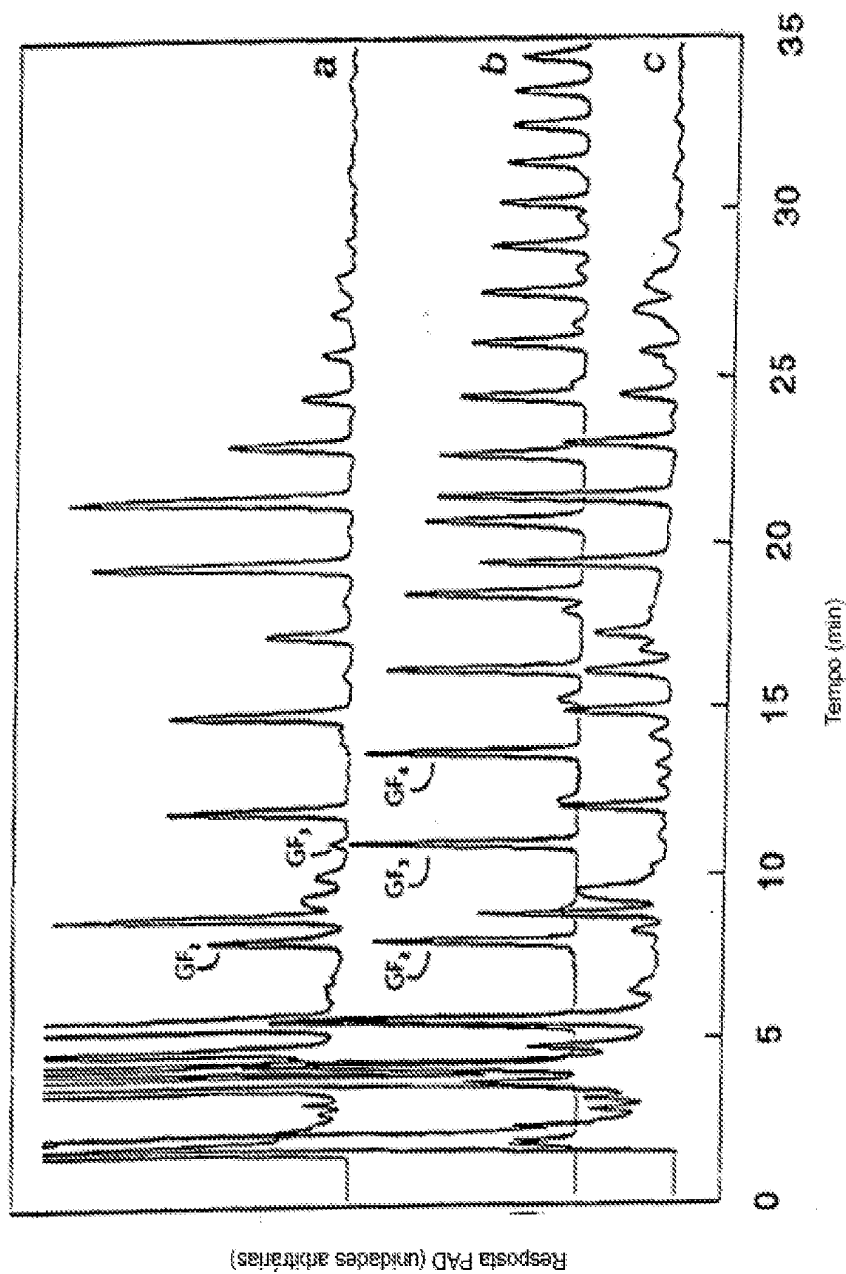
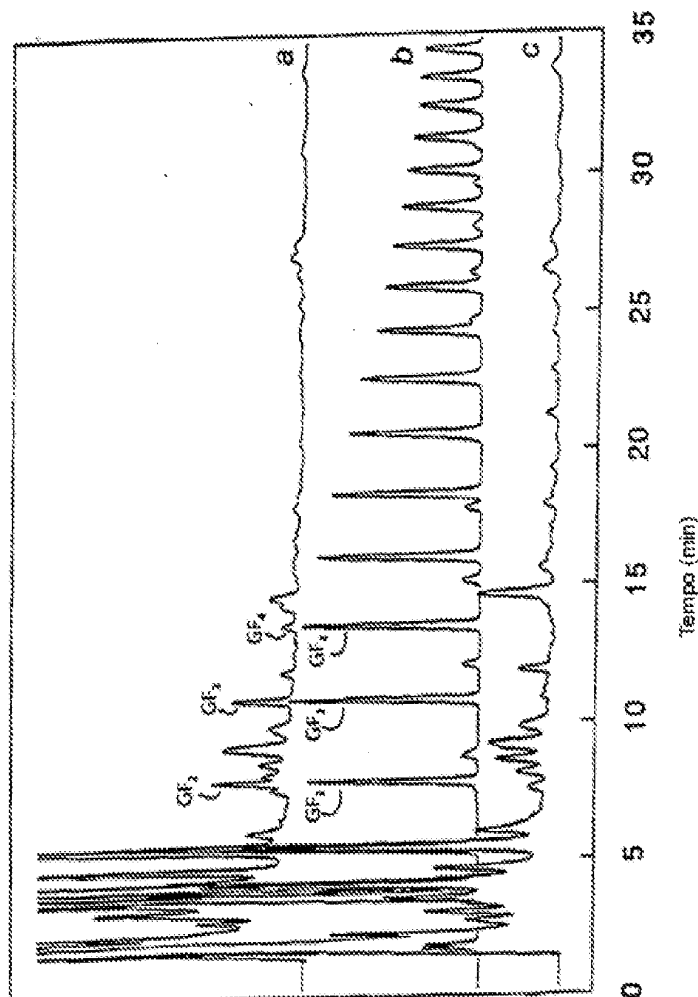


Fig. 8



PE795018

12/12

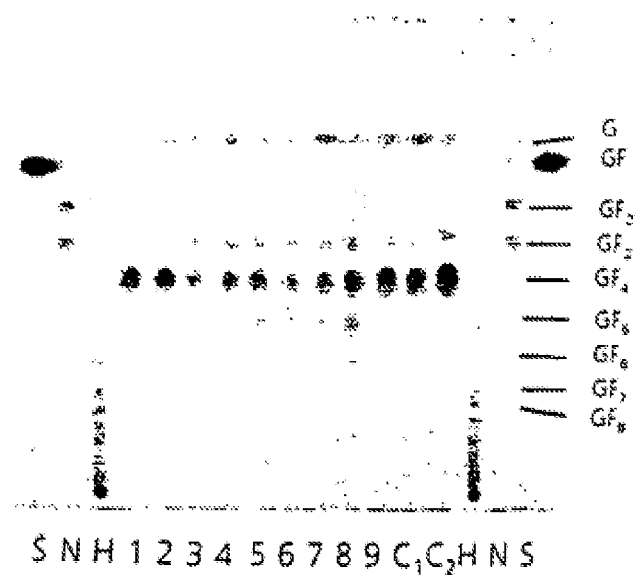


Fig. 9

**REFERÊNCIAS CITADAS NA DESCRIÇÃO**

Esta lista de referências citadas pelo requerente é apenas para conveniência do leitor. A mesma não faz parte do documento da patente Europeia. Ainda que tenha sido tomado o devido cuidado ao compilar as referências, podem não estar excluídos erros ou omissões e o IEP declina quaisquer responsabilidades a esse respeito.

***Documentos de patentes citadas na Descrição***

- WO 8912386 A
- NL 9303646 A
- WO 9414970 A
- DE 4227061 A1
- WO 9404532 A
- WO 9117169 A
- WO 8912386 A1
- WO 9404692 A1
- WO 9414970 A1

**Literatura que não é de patentes citada na Descrição**

- Purification and properties of sucrose-sucrose fructosyltransferases in barley leaves and onion seeds. ANGENENT GC ; EBSKAMP MJM ; WEISBEEK PJ ; SMEEKENS SCM. Inulin and inulin containing crops. Elsevier, 1993, 173-184
- AUSUBEL FM ; BRENT R ; KINGSTON RE ; MOORE DD ; SEIDMAN JG ; SMITH JA ; STRUHL K. Current protocols in molecular biology. John Wiley & Sons, 1994
- BEVAN M. Binary Agrobacterium vectors for plant transformation. *Nucleic Acids Research*, 1984, vol. 12, 6711-6721
- CARLSSON J. A levansucrase from *Streptococcus mutans*. *Caries Research*, 1976, vol. 4, 97-113
- CHATTERTON NJ ; HARRISON PA ; THORNLEY WR ; DRAPER EA. Oligosaccharides in foliage of Agropyron, Bromus, Dactylis, Festuca, Lolium, and Phleum. *New Phytologist*, 1993, vol. 114, 167-171
- DARWEN CWE ; JOHN P. Localization of the enzymes of fructan metabolism in vacuoles isolated by a mechanical method from tubers of Jerusalem artichoke (*Helianthus tuberosus* L.). *Plant Physiology*, 1959, vol. 39, 658-663
- DEDONDER R. Levansucrase from *Bacillus subtilis*. *Methods in Enzymology*, 1966, vol. 6, 593-595
- DITTA G ; STANFIELD S ; CORBI D ; HELINSKI DR. Broad host range DNA cloning system for Gram-negative bacteria: Construction of a gene bank of *Rhizobium meliloti*. *Proceedings National Academy of Science*, 1980, vol. 77, 7347-7351
- EBSKAMP MJM ; VAN DER MEER IM ; SPRONK BA ; WEISBEEK PJ ; SMEEKENS SCM. Accumulation of fructose polymers in transgenic tobacco. *BioTechnology*, 1994, vol. 12, 272-275
- HEINZE B ; PRAZNIK W. Separation and purification of inulin oligomers and polymers by reversed-phase high-performance liquid chromatography. *Journal of Applied Polymer Science: Applied Polymer Symposium*, 1991, vol. 48, 207-226
- HORSCH RB ; FRY JE ; HOFFMAN NL ; EICH-HOLTZ B ; ROGERS SG ; FRALEY RT. A simple and general method for transferring genes into plants. *Science*, 1985, vol. 227, 1229-1232
- JACQUES NA. The fructosyltransferase of *Streptococcus escherichii*. *New Phytologist*, 1993, vol. 123, 429-435
- KOOPS AJ ; JONKER HH. Purification and characterization of the enzymes of fructan biosynthesis in tubers of *Helianthus tuberosus* 'Colombia'. I. Fructan-fructan fructosyltransferase. *Journal of Experimental Botany*, 1994, vol. 45, 1623-1631 [0076]
- LAEMMLI UK. Cleavage of structural proteins during assembly of the head of bacteriophage T4. *Nature*, 1970, vol. 227, 660-665
- LEWIS DH. Nomenclature and diagrammatic representation of oligomeric fructans - a paper for discussion. *New Phytologist*, 1993, vol. 124, 583-584
- LÜSCHER M ; FREHNER M ; NÖSBERGER J. Purification and characterization of fructofructan fructosyltransferase from Jerusalem artichoke (*Helianthus tuberosus* L.). *New Phytologist*, 1993, vol. 123, 717-24
- Reserve polysaccharides other than starch in higher plants. MEIER H ; REID JS. *Encyclopedia of Plant Physiology*. Springer Verlag, 1982, 1416-71

- PEN J ; MOLENDIJK L ; QUAX WJ ; SJMONS PC ; VAN GOYEN AJJ ; VAN DEN ELZEN PJM ; RIETVELD K. ; HOEKEMA A. Production of active *Bacillus licheniformis* alpha-amylase in tobacco and its application in starch liquefaction. *Bio/Technology*, 1992, vol. 10, 282-288
- PRAZNIK W ; BECK RHF ; SPIES TH. Isolation and characterization of sucrose:sucrose 1F- $\beta$ -D-fructosyltransferase from tubers of *Helianthus tuberosus*. *L. Agric. Biol. Chem.*, 1993, vol. 54, 2429-2431 [0076]
- ROSENFIELD J ; CAPDEVIELLE J ; GIRLLEMOT JC ; FERRARA P. In-gel digestion of proteins for internal sequence analysis after one- or two-dimensional gel electrophoresis. *Analytical Biochemistry*, 1992, vol. 203, 173-179
- SAMBROOK J ; FRITSCH EF ; MANIATIS T. Molecular cloning. A laboratory manual. Cold Spring Harbor Laboratory Press, 1989
- SATO S ; KURAMITSU HK. Isolation and characterization of a fructosyltransferase gene from *Streptococcus mutans* GS-5. *Infect. Immun.*, 1986, vol. 52, 166-170
- SHONMI N ; IZAWA M. Purification and characterization of sucrose:sucrose 1-fructosyltransferase from roots of asparagus (*Asparagus officinalis* L. *Agric. Biol. Chem.*, 1980, vol. 44, 603-614
- STEINMETZ M ; LE COQ D ; AYMERICH S ; GONZY TREBOUL G ; GAY P. The DNA sequence of the gene for the secreted *Bacillus subtilis* enzyme levaneucrase and its genetic control sites. *Molecular & General Genetics*, 1985, vol. 200, 220-226 [0076]
- VAN DER MEER IM ; EBSKAMP MJM ; VISSER RGF ; WEISBEEK PJ ; SMEEKENS JCM. Fructan as a new carbohydrate sink in transgenic potato plants. *Plant Cell*, 1994, vol. 6, 561-570
- VAN ENGELEN FA ; MOLTHOFF JW ; CONNER, AJ ; NAP J-P ; PEREIRA A ; STIEKEMA WJ. pBIN-PLUS: an improved plant transformation vector based on pBIN19. *Transgenic Research*, 1995, vol. 4, 288-290
- Regeneration and transformation of potato by *Agrobacterium tumefaciens*. VISSER RGF. Plant Tissue Culture Manual. Kluwer Academic Publishers, 1991, 1-8
- WAGNER W ; KELLER F ; WIEMKEN. Fructan metabolism in cereals: induction in leaves and compartmentation in protoplasts and vacuoles. *Zeitschrift für Pflanzenphysiologie*, 1983, vol. 112, 353-372
- WISE CS ; DIMLER RJ ; DAVISS HA ; RIST CE. Determination of easily hydrolysable fructose units in dextran preparations. *Analytical Chemistry*, 1955, vol. 27, 33-6